

А.С. Демидов, А.С. Кочуров и А.Ю. Попов

Одна из целей этой работы состоит в том, чтобы на сравнительно простом, но важном примере конкретизировать (и, тем самым, сделать более прозрачной) общую конструкцию [5] поиска **всех** существенно различных нелинейностей в уравнениях математической физики. Этот поиск осуществляется при наличии дополнительных граничных данных. В качестве важного модельного примера здесь рассматривается задача о реконструкции всех существенно различных нелинейностей  $f$  в эллиптическом уравнении

$$\Delta u(x, y) \stackrel{def}{=} u_{xx}(x, y) + u_{yy}(x, y) = f(u(x, y)) \geq 0, \quad (x, y) \in \omega \in \mathbb{R}^2 \quad (0.1)$$

при наличии данных Коши на границе  $\gamma = \partial\omega$  области  $\omega$ . Это — центральная проблема в так называемой [6] обратной задаче о равновесии плазмы в токамаке<sup>1</sup>. Равновесие описывается уравнением Грэда–Шафранова, которое при некотором допущении сводится к уравнению (0.1) относительно потенциала  $u$  магнитного поля (точнее, относительно некоторой компоненты векторного потенциала магнитного поля). При этом по данным магнитного мониторинга формируется множество  $\Psi$  вычисляемых (и/или оцениваемых [3, 23]) приближений для нормальных производных  $\frac{\partial u}{\partial \nu} \Big|_{\gamma}$  функции  $u$  на границе области  $\omega$ . Требуется для *фиксированной* функции  $\Psi \in \Psi$  реконструировать ВСЕ “существенно различные” (если таковые имеются) функции  $f : u \mapsto f(u)$  в правой части уравнения (0.1), для которых найдутся решения  $u = u_f$  уравнения (0.1), удовлетворяющие следующим условиям:

$$u \Big|_{\gamma} = 0 \quad \text{и} \quad \max_{s \in \gamma} |\varrho(s)(\Phi(s) - \Psi(s))| \leq \eta \ll 1, \quad \text{где} \quad \Phi \stackrel{def}{=} \frac{\partial u}{\partial \nu} \Big|_{\gamma}, \quad \int_{\gamma} \Phi \neq 0. \quad (0.2)$$

Здесь  $\nu$  — внешняя единичная нормаль<sup>2</sup> к  $\gamma$ ,  $\varrho : \gamma \rightarrow [0, 1]$  — “весовая” функция, равная нулю вблизи точек, в которых кривизна кривой  $\gamma$  превышает некоторое значение, и равная единице в остальных точках. При этом функции  $f_1$  и  $f_2$  считаются “существенно различными”, если найдется пара соответствующих им функций  $u_{f_1}$  и  $u_{f_2}$ , для которых справедливо неравенство

$$\mathcal{E}_{\|\cdot\|}(u_{f_1}, u_{f_2}) \stackrel{def}{=} \frac{2 \|f_1(u_{f_1}) - f_2(u_{f_2})\|}{\|f_1(u_{f_1})\| + \|f_2(u_{f_2})\|} \geq \alpha, \quad (0.4)$$

где та или иная норма  $\|\cdot\|$  (например,  $\|\cdot\|_{L^p(\omega)}$ ), а также параметр  $\alpha \in (0, 1)$  задаются (экспертами). В работе

1) изложен алгоритм, позволяющий сравнительно быстро реконструировать все “существенно различные” функции  $f : u \mapsto f(u)$  из компактного подмножества заданного функционального пространства;

2) предъявлен первый пример области и даже целое семейство  $\Omega = \{\omega\}$  областей  $\omega$  с *гладкой* границей, для которых в случае  $\Phi = \Psi$  (т.е. при  $\eta = 0$ ) обратная задача имеет не более одного

\*Работа выполнена при поддержке РФФИ (гранты 05-01-22001, 05-01-00261, 06-01-00330 и 07-01-00500).

<sup>1</sup>ТОКАМАК — это ТОроидальная КАмера с МАгнитными Катюшками.

<sup>2</sup>Уравнение (0.1) соответствует цилиндрическому приближению камеры токамака (когда большой радиус тороидальной камеры считается равным бесконечности). В том случае, когда не пренебрегают эффектами тороидальности, уравнение Грэда–Шафранова (в отличие от уравнения (0.1)) принимает следующий вид

$$\tilde{\Delta} u \stackrel{def}{=} \frac{\partial}{\partial x} \left( \frac{1}{x} \frac{\partial u}{\partial x} \right) + \frac{1}{x} \frac{\partial^2 u}{\partial y^2} = \frac{1}{x} f(u) + xg(u) \geq 0 \quad \text{в } \omega \in \mathbb{R}^2. \quad (0.3)$$

где искомыми являются функции  $f$  и  $g$ . Они определяют распределение тока и давления в плазме. Для соответствующей им функции  $u$  величина  $I = \int_{\omega} \tilde{\Delta} u \, dx dy$  есть полный ток, протекающий по плазме. Он известен. В цилиндрическом приближении полный ток может быть выражен через функцию  $\Phi$ , поскольку (в силу формулы Гаусса)  $\int_{\omega} \tilde{\Delta} u \, dx dy \stackrel{(0.1)-(0.2)}{=} \int_{\gamma} \Phi \, d\gamma$ . Аналогичное представление в тороидальном случае будет выполнено, если по данным измерениям градиента  $u$  вне функциональной камеры вычислять на  $\gamma$  не нормальную, а конормальную производную функции  $u$ , ассоциированную с оператором  $\tilde{\Delta}$ .

решения  $f$  в классе аффинных<sup>3</sup> ( $f(u) = au + b$ ), а также в классе экспоненциальных ( $f(u) = ce^{du}$ ,  $d > 0$ ) функций;

3) в  $\Omega$  выделено некоторое подсемейство односвязных областей  $\omega$  и предъявлены функции  $\Psi : \gamma \rightarrow \mathbb{R}$ , для которых обратная задача в классе аналитических функций  $f$  имеет не менее двух “существенно различных” решений.

В заключительном параграфе статьи обозначен рецепт реконструкции по граничным данным всех “существенно различных” нелинейностей в весьма общих уравнениях математической физики. К их числу относится система уравнений

$$\begin{aligned} \rho_t + \operatorname{div} \rho \mathbf{v} &= 0, & \rho T_t + \rho \mathbf{v} \cdot \nabla T &= \lambda \Delta T + Q(\mathbf{u}) Y e^{-\sigma(\mathbf{u})} + A(\mathbf{u})(T - T_0), \\ \rho \mathbf{v}_t + \rho \mathbf{v} \cdot \nabla \mathbf{v} &= \mu \Delta \mathbf{v} - \nabla p, & \rho Y_t - \rho \mathbf{v} \cdot \nabla Y &= \rho D \Delta Y - k(\mathbf{u}) Y e^{-\sigma(\mathbf{u})}, \end{aligned} \quad (0.5)$$

описывающая процессы горения и детонации [8]. Здесь  $p = p(\rho, T)$  – заданная функция (характеризующая уравнение состояния),

$$\mathbf{u} = (\rho, \mathbf{v}, T, Y) : (x, t) \mapsto \mathbf{u}(x, t), \quad \text{где } x \in \omega \subset \mathbb{R}^n, \quad t \in (0, t_*), \quad t_* \leq \infty.$$

Можно считать известным значение вектор-функции  $\mathbf{u}$  при  $t = 0$ . Задача состоит в том, чтобы по градиенту  $\mathbf{u}$ , заданному при  $x \in \partial\omega$  и  $t \in (0, t_*)$ , реконструировать все “существенно различные” функции

$$A : \mathbf{u} \mapsto A(\mathbf{u}), \quad Q : \mathbf{u} \mapsto Q(\mathbf{u}), \quad \sigma : \mathbf{u} \mapsto \sigma(\mathbf{u}), \quad k : \mathbf{u} \mapsto k(\mathbf{u}), \quad (0.6)$$

для которых система уравнений (0.5) имеет вектор-функцию  $\mathbf{u}$  в качестве решения.

## § 1 “Реальная” и “идеализированная” постановки задачи

1. Рассматриваемая задача для уравнения (0.1) относится к проблеме управляемого термоядерного синтеза в токамаках. Одна из тех функций  $f$ , для которых (при соответствующей функции  $\Psi$ ) выполнены условия (0.1)–(0.2), обозначим эту функцию через  $f_*$ , характеризует распределение электрического тока

$$f_* \circ u_{f_*} : \omega \ni (x, y) \mapsto f_*(u_{f_*}(x, y)) \quad (1.1)$$

в так называемом плазменном шнуре, сечение которого есть область  $\omega$ . Таким образом, величина

$$I \stackrel{\text{def}}{=} \int_{\omega} \Delta u_{f_*} dx dy \stackrel{(0.1)-(0.2)}{=} \int_{\gamma} \Phi d\gamma > 0 \quad (1.2)$$

есть полный ток, протекающий по плазме. Функция  $u = u_{f_*}$  – это  $z$ -компонента векторного потенциала магнитного поля. Известно, что  $u|_{\partial\omega} = \text{const}$ . Для определенности, эта константа считается здесь равной нулю, т.е.  $\gamma = \partial\omega$  – это нулевая линия уровня функции  $u$ . Известно также, что (вообще говоря, априори неизвестная) функция  $\Phi = \partial u / \partial \nu|_{\gamma}$  может быть приближена функцией  $\Psi$ , которая строится по данным магнитной диагностики.

Проблема реконструкции (идентификации) правой части уравнения Грэда-Шафранова по данным магнитной диагностики была поднята в начале 70-х годов (см., например, [6]) и живо обсуждается физиками до сих пор (в частности, в [25]). Ее принципиальная значимость обусловлена тем, что методы управления разрядом и, в частности, методы борьбы с неустойчивостью плазмы в существенной мере зависят от того, каково распределение (1.1) протекающего по ней тока, определяемого функцией  $f_*$ . Но эта функция физикам реально неизвестна. Конечно, можно (численно) подобрать некоторую функцию  $f_{\#}$  и соответствующую ей функцию  $u_{f_{\#}}$ , для которых с той или иной точностью будут выполнены условия (0.1)–(0.2). Однако если композиции  $f_{\#} \circ u_{f_{\#}}$  и  $f_* \circ u_{f_*}$  удовлетворяют условию (0.4),

<sup>3</sup>Ранее [4, 22, 26] было доказано, что для односвязных областей с гладкой границей, отличных от диска (круга), существует не более конечного числа решений обратной задачи в классе аффинных функций. Базовая идея работы [4] лежит в основе как приводимых здесь результатов единственности, так и общего алгоритма реконструкции всех нелинейностей в уравнениях с частными производными. Для уравнения (0.3) этот алгоритм реализован в определенной мере в [10].

то управление разрядом, базирующееся на (ошибочном) предположении, что именно функция  $f_{\#} \circ u_{f_{\#}}$  характеризует реальное распределение тока в плазме, то такое управление разрядом может привести не к подавлению, а наоборот, к развитию неустойчивостей плазмы. Поэтому необходимо предварительно найти множество из представителей всех “существенно различных” функций, для которых выполнены условия (0.1)–(0.2). Если такому множеству будет соответствовать лишь один элемент  $f \circ u_f$ , то его можно принять за искомую физиками функцию  $f_* \circ u_{f_*}$ . Если же “существенно различных” функций несколько, то нужно будет выбирать ту из них, которая представляет функцию  $f_* \circ u_{f_*}$ . Для этих целей могут применяться дополнительные диагностики (см., например, [27]). Но сначала необходимо уметь сравнительно быстро находить все “существенно различные” (в указанном выше смысле) представители искомым правых частей уравнения Грэда–Шафранова.

2. В работах [17]–[19] было доказано (за исключением некоторых частных случаев), что если граница  $\gamma = \partial\omega$  “плазменной” области  $\omega \in \mathbb{R}^2$  имеет угловую особенность (что соответствует современным экспериментам с так называемой дивергентной конфигурацией<sup>4</sup>), то в классе аналитических функций может существовать только одна функция  $f$ , для которой равенство  $\partial u_f / \partial \nu|_{\gamma} = \Phi$  справедливо в сколь угодно малой окрестности угловой точки. Другими словами, функция  $f$  определяется по асимптотическому поведению ее нормальной производной в окрестности угловой точки.

На первый взгляд может показаться (см., например, [18, 20]), что этот красивый математический результат позволяет положительно решить вопрос о единственности реконструкции искомого распределения.

Однако это не так. *Во-первых*, нормальная производная (вернее, ее абсолютное значение) сколь угодно мала при приближении к угловой точке контура  $\gamma$ . При этом, согласно [17]–[19], множество значений этих нормальных производных, заданных в окрестности угловой точки, находится во взаимно-однозначном соответствии с множеством всех аналитических функций, задающих правую часть уравнения (0.1). Тем самым, любые равномерные приближения нормальной производной в окрестности угловой точки абсолютно неинформативны для реконструкции правой части (даже в рамках ее аффинной аппроксимации, как это следует из [22]). *Во-вторых*, если искомая нелинейность восстановлена по асимптотическому поведению нормальной производной, то можно говорить о знании функции  $u$ , а потому и о ее нормальной производной на всей гладкой части границы. Но тогда получаем с вероятностью 1 несовпадение так вычисляемой нормальной производной с функцией  $\Psi$ , представляющей эту производную.

Итак, реконструкция нелинейностей по асимптотическому поведению нормальной производной при приближении к угловой точке не может считаться приемлимой. Кроме того, необходимо учитывать, что максимально возможная информация о функции  $\partial u / \partial \nu|_{\gamma}$  реально может извлекаться лишь из условия

$$\max_{s \in \gamma_1} \left| \frac{\partial u}{\partial \nu}(s) - \Psi(s) \right| \leq \eta. \quad (1.3)$$

Здесь  $\eta$  — малое число,  $\Psi$  — реально вычисляемая (по данным магнитной диагностики) функция на  $\gamma_1 = \gamma \setminus \gamma_0$ , где  $\gamma_0 = \{x \in \gamma \mid |x - y| \leq C_{\eta}, |k(y)| \geq D_{\eta}\}$ ,  $k(y)$  — кривизна кривой  $\gamma$  в точке  $y \in \gamma$ , а  $C_{\eta}$  и  $D_{\eta}$  — некоторые (экспертные) константы.

Такая постановка задачи соответствует тому реальному факту, что данные о функции  $\Phi = \partial u / \partial \nu|_{\gamma}$  возможно получить лишь приближенные, да и то только на тех гладких дугах кривой  $\gamma$ , которые несколько отдалены от точек, в которых кривая  $\gamma$  имеет завышенную кривизну.

Можно несколько упростить постановку задачи, идеализируя реальную ситуацию, полагая  $\eta = 0$  и  $\gamma_1 = \gamma$ . Другими словами, идеализированная постановка предполагает, что кривая  $\gamma$  достаточно гладкая<sup>5</sup> и на ней известна функция  $\Phi = \partial u / \partial \nu|_{\gamma}$ .

<sup>4</sup>В этом случае магнитные силовые линии имеют сепаратрису, содержащую петлю в виде “половинки” восьмерки, охватывающей “плазменную” область  $\omega$ . Тем самым,  $\omega$  имеет угловую точку. Однако вблизи точек с чрезмерной кривизной, а тем более в окрестности угловой точки реально невозможно получить данные о коэффициентах асимптотического поведения функции  $\varphi = \partial u / \partial \nu|_{\gamma}$ . Поэтому весовая функция  $\varrho$  в формуле (0.2) равна нулю вблизи угловой точки.

<sup>5</sup>Как было отмечено, исходные данные, к сожалению, информативны в реальности лишь на гладких дугах кривой  $\gamma$ . Это создает существенную трудность в изучении рассматриваемой здесь задачи о реконструкции правой части  $f$  уравнения  $\Delta u = f(u)$ , поскольку, чем глаже кривая  $\gamma$  (являющаяся линией уровня функции  $u$ ), тем труднее из знания нормальной производной  $\partial u / \partial \nu|_{\gamma}$  извлечь данные о функции  $f$ .

## § 2 Факторизация, функция $\varkappa$ , функциональные классы, алгоритм поиска

В этом параграфе на примере задачи о поиске функции  $f$ , для которой существует решение  $u$  задачи Дирихле

$$\Delta u = f(u) \geq 0 \quad \text{в } \omega \in \mathbb{R}^2, \quad u|_{\gamma=\partial\omega} = 0, \quad (2.1)$$

удовлетворяющее с некоторой точностью условию

$$\frac{\partial u}{\partial \nu} \Big|_{\gamma} = \Phi \quad (2.2)$$

для фиксированной функции  $\Phi$ , подробно представлены следующие пять элементов общей конструкции<sup>6</sup> поиска **всех** существенно различных нелинейностей в обратных задачах математической физики, а именно:

- 1) выбор функционального класса  $\mathcal{F}$  в некотором нормированном пространстве  $X$  искомым функций  $f$ ;
- 2) “факторизация” исходного уравнения и переход к “факторизованному” функциональному классу  $\mathcal{G}$ ;
- 3) конструирование функции  $\varkappa$ , определенной на классе  $\mathcal{G}$ , и конструирование серии  $\mathfrak{S}$  необходимых условий, “сходящихся” (по модулю двух быстро проверяемых соотношений)<sup>7</sup> к критерию, характеризующему искомую нелинейность  $f \in \mathcal{F}$ ;
- 4) сравнительно быстрый отсев тех функций  $f \in \mathcal{F}$ , которые не удовлетворяют обозначенной серии  $\mathfrak{S}$  необходимых условий<sup>8</sup> и формирование, тем самым, некоторого множества  $\mathcal{F}_0 \subset \mathcal{F}$  функций, удовлетворяющих всей серии  $\mathfrak{S}$ ;
- 5) выборка из множества  $\mathcal{F}_0$  всех искомым существенно различных функций  $f$ .

1. Не конкретизируя поначалу функциональный класс  $\mathcal{F}$  искомым функций  $f$ , изложим базовую идею. Она заложена в двух простых леммах 2.1–2.2 и относится к факторизации исходного уравнения, конструированию функции  $\varkappa$  и серии  $\mathfrak{S}$  необходимых условий. Эти леммы является естественным обобщением леммы из заметки [4] (или, что то же самое, леммы 4.1 из работы [22]). Леммы 2.1 и 2.2 формулируется в рамках “идеализированной” постановки рассматриваемой задачи, т.е. для случая, когда кривая  $\gamma$  достаточно гладкая и на ней всюду задана (известна) функция  $\Phi = \partial u / \partial \nu \Big|_{\gamma}$ . Обобщение этих лемм на “реальный” случай представляют леммы 2.3 и 2.4.

Под *факторизацией* некоторым подходящим числовым множителем  $\sigma \neq 0$  (*параметром факторизации*) исходного уравнения  $\Delta u = f(u)$  для однородной задачи Дирихле в области  $\omega$  понимается переход к *факторизованной* задаче Дирихле

$$\Delta v = g(v) \quad \text{в } \omega, \quad v \Big|_{\gamma} = 0, \quad \text{где } g(v) = \sigma f(u), \quad \text{а } v = \sigma u. \quad (2.4)$$

<sup>6</sup>Определенным подспорьем при реконструкции функций  $f_j : u \mapsto f_j(u)$  в дифференциальном уравнении вида

$$F(x, D^\beta u) = \sum_{j=1}^J \rho_j(x) f_j(u)$$

может служить ассоциативное с ним дифференциальное уравнение (см., например, [1, 14]), отражающее постоянство искомым функций  $f_j$  вдоль любой линии уровня функции  $u$ . Именно это свойство может помочь эффективно искать функции  $f_j$  с априори заданной топологией линий уровня отображений

$$f_j \circ u : \omega \ni (x, y) \mapsto f_j(u(x, y)).$$

В случае уравнения Грэда–Шафранова (0.3) ассоциированное с ним уравнение таково:

$$u_y \{A(x, Du)\}_x - u_x \{A(x, Du)\}_y = 0, \quad \text{где } A(x, Du) = \frac{u_y (\tilde{\Delta} u)_x - u_x (\tilde{\Delta} u)_y}{x u_y}, \quad (2.3)$$

а в случае уравнения  $\Delta u = f(u)$ , оно имеет такой вид:  $u_y (\Delta u)_x - u_x (\Delta u)_y = 0$ .

<sup>7</sup>См. ниже замечания 2.1 и 2.2.

<sup>8</sup>В случае отсутствия дополнительного аналитического анализа речь идет переборе функций  $g \in \mathcal{G}$ .

При этом имеем

$$\frac{\partial v}{\partial \nu} \Big|_{\gamma} = \sigma \Phi, \quad \text{где} \quad \Phi = \frac{\partial u}{\partial \nu} \Big|_{\gamma}. \quad (2.5)$$

**Лемма 2.1** (необходимое условие) Пусть задача (2.1)–(2.2) имеет решения  $u_1$  и  $u_2$  соответственно для функций  $f_1$  и  $f_2$ , а  $g_j(v) = \sigma_j f_j(v/\sigma_j)$ , где  $\sigma_1$  и  $\sigma_2$  — ненулевые константы. Тогда для любых двух точек  $s_R \in \gamma$  и  $s_\rho \in \gamma$  выполнено равенство:

$$\kappa(f_1, \sigma_1; s_R, s_\rho) = \kappa(f_2, \sigma_2; s_R, s_\rho), \quad \text{где} \quad \kappa(f_j, \sigma_j; s_R, s_\rho) \stackrel{\text{def}}{=} \frac{\partial v_j}{\partial \nu} \Big|_{s_R} / \frac{\partial v_j}{\partial \nu} \Big|_{s_\rho}, \quad \text{а} \quad v_j = \sigma_j u_j. \quad (2.6)$$

♡<sup>9</sup> Если для функций  $f_1$  и  $f_2$  существуют решения  $u_1$  и  $u_2$  задачи (2.1)–(2.2), то для соответствующих им функций  $g_j : v \mapsto g_j(v) = \sigma_j f_j(v/\sigma_j)$  и функций  $v_j = \sigma_j u_j$  имеем:

$$\frac{\varphi_1}{\sigma_1} = \Phi = \frac{\varphi_2}{\sigma_2}, \quad \text{где} \quad \varphi_j \stackrel{\text{def}}{=} \frac{\partial v_j}{\partial \nu} \Big|_{\gamma}. \quad (2.7)$$

Отсюда<sup>10</sup>)

$$\varphi_1/\varphi_2 = \sigma_1/\sigma_2. \quad (2.8)$$

В частности, для любых двух точек  $s_\rho \in \gamma$  и  $s_R \in \gamma$  получаем

$$\frac{\varphi_1(s_R)}{\varphi_2(s_R)} = \frac{\varphi_1(s_\rho)}{\varphi_2(s_\rho)} \iff \frac{\varphi_1(s_R)}{\varphi_1(s_\rho)} = \frac{\varphi_2(s_R)}{\varphi_2(s_\rho)}. \quad (2.9)$$

Итак, установлено необходимое условие (2.6) разрешимости задачи (2.1)–(2.2) для функции  $f_2$  в том случае, когда эта задача разрешима для функции  $f_1$ . □

**Лемма 2.2** (необходимое и достаточное условие) Пусть  $v_j$  — решение задачи Дирихле (2.4) для функции  $g_j : v \mapsto g_j(v) \stackrel{\text{def}}{=} \sigma_j f_j(v/\sigma_j)$ , где  $j = 1, 2$ , а  $\sigma_j$  — ненулевая константа. Предположим, что

- 1) равенство (2.6) верно для любой точки  $s_R \in \gamma$  (и некоторой  $s_\rho \in \gamma$ );
- 2) хотя бы для одной точки  $s_\rho \in \gamma$  справедливо равенство

$$\frac{\varphi_1(s_\rho)}{\sigma_1} = \frac{\varphi_2(s_\rho)}{\sigma_2}, \quad \text{где} \quad \varphi_j(s) \stackrel{\text{def}}{=} \frac{\partial v_j}{\partial \nu} \Big|_{s \in \gamma}. \quad (2.10)$$

Тогда функция  $u_2$  удовлетворяет условию (2.2), если и только если этому условию удовлетворяет функция  $u_1$ .

♡ Согласно предположению, справедливо равенство

$$\kappa(f_1, \sigma_1; s_R, s_\rho) = \kappa(f_2, \sigma_2; s_R, s_\rho) \quad \forall s_R \in \gamma. \quad (2.11)$$

Обозначим обе части этого равенства через  $\kappa(s_R)$ . Имеем

$$\varphi_1(s_R) = \kappa(s_R)\varphi_1(s_\rho) \quad \text{и} \quad \varphi_2(s_R) = \kappa(s_R)\varphi_2(s_\rho). \quad (2.12)$$

Поэтому

$$\frac{\partial u_1}{\partial \nu} \Big|_{s_R} \stackrel{(2.5)}{=} \frac{\varphi_1(s_R)}{\sigma_1} \stackrel{(2.12)}{=} \frac{\kappa(s_R)\varphi_1(s_\rho)}{\sigma_1} \stackrel{(2.10)}{=} \frac{\kappa(s_R)\varphi_2(s_\rho)}{\sigma_2} \stackrel{(2.12)}{=} \frac{\varphi_2(s_R)}{\sigma_2} \stackrel{(2.5)}{=} \frac{\partial u_2}{\partial \nu} \Big|_{s_R} \quad \forall s_R \in \gamma,$$

Тем самым, два соотношения (2.10) и (2.11) вместе образуют достаточное (а также необходимое) условие существования двух функций  $f_1$  и  $f_2$ , для которых существуют решения  $u_1$  и  $u_2$  задачи (2.1)–(2.2). □

<sup>9</sup>Иногда начало и конец доказательств отмечаются соответственно такими символами: ♡ и □.

<sup>10</sup>Согласно лемме Жиро-Хопфа-Олейник о граничной производной, функции  $\varphi_j = \sigma_j \Phi$  отличны от нуля, т.к.  $\Phi > 0$  в силу условия  $f \geq 0$ .

**Замечание 2.1** В случае “идеализированной” постановки задачи, ансамбль равенств (2.6) есть та обозначенная в начале параграфа серия  $\mathfrak{S}$  необходимых условий, которая “сходится” к критерию, характеризующему искомую нелинейность  $f \in \mathcal{F}$  по модулю двух быстро проверяемых соотношений. Одним из этих соотношений является равенство (2.10), а другим — неравенство (0.4).

Обобщим предыдущие леммы на случай “реальной” постановки задачи.

Пусть  $f_1$  и  $f_2$  — две функции из  $\mathcal{F}$ , а  $u = u_j$  (где  $j = 1, 2$ ) — соответствующие им решения задачи

$$\Delta u = f_j(u) \quad \text{в } \omega \in \mathbb{R}^2, \quad u|_{\gamma=\partial\omega} = 0, \quad (2.13)$$

удовлетворяющие такому неравенству

$$\max_{s \in \gamma_1} \left| \frac{\partial u}{\partial \nu}(s) - \Psi(s) \right| \leq \eta. \quad (2.14)$$

Здесь  $\eta$  — малое число,  $\Psi$  — фиксированная функция, заданная на  $\gamma_1 = \gamma \setminus \gamma_0$ , где

$$\gamma_0 = \{x \in \gamma \mid |x - y| \geq C_\eta, \quad |k(y)| \geq D_\eta\},$$

$k(y)$  — кривизна кривой  $\gamma$  в точке  $y \in \gamma$ , а  $C_\eta$  и  $D_\eta$  — некоторые (экспертные) константы.

**Лемма 2.3** (необходимое условие) Для любых двух точек  $s_\rho \in \gamma_1$  и  $s_R \in \gamma_1$  (в которых модуль функции  $\Psi$  превосходит<sup>11</sup>  $\eta$ ) выполнено неравенство

$$|\kappa(f_1, \sigma_1; s_R, s_\rho) - \kappa(f_2, \sigma_2; s_R, s_\rho)| \leq \mu(\eta, \Psi) \stackrel{\text{def}}{=} 2\eta \frac{|\Psi(s_R)| + |\Psi(s_\rho)| + 2\eta}{(|\Psi(s_\rho)| - \eta)^2} \min\{|\sigma_1|^2, |\sigma_2|^2\}, \quad (2.15)$$

где  $\sigma_1, \sigma_2$  — ненулевые константы, а

$$\kappa(f_j, \sigma_j; s_R, s_\rho) \stackrel{\text{def}}{=} \frac{\varphi_j(s_R)}{\varphi_j(s_\rho)}, \quad \varphi_j(s) = \sigma_j \Phi_j(s), \quad \Phi_j(s) \stackrel{\text{def}}{=} \frac{\partial u_j}{\partial \nu} \Big|_{s \in \gamma}. \quad (2.16)$$

♡ Если для функций  $f_1$  и  $f_2$  существуют решения  $u_1$  и  $u_2$  задачи (2.13), то для соответствующих им функций  $g_j$  (с  $j = 1, 2$ ) и функций  $v_j = \sigma_j u_j$  имеем:

$$\max_{s \in \gamma_1} \left| \frac{\varphi_j(s)}{\sigma_j} - \Psi(s) \right| \leq \eta, \quad \text{где } \varphi_j(s) = \frac{\partial v_j}{\partial \nu} \Big|_{s \in \gamma_1}. \quad (2.17)$$

Отсюда

$$\left| \frac{\varphi_1(s)}{\sigma_1} - \frac{\varphi_2(s)}{\sigma_2} \right| \leq 2\eta \quad \forall s \in \gamma_1. \quad (2.18)$$

Представим последнее неравенство в виде

$$\left| \frac{\varphi_1(s)}{\varphi_2(s)} - \frac{\sigma_1}{\sigma_2} \right| \leq 2\eta \left| \frac{\sigma_1}{\varphi_2(s)} \right| \quad \forall s \in \gamma_1. \quad (2.19)$$

В частности, для любых двух точек  $s_R \in \gamma_1$  и  $s_\rho \in \gamma_1$  имеем

$$\left| \frac{\varphi_1(s_R)}{\varphi_2(s_R)} - \frac{\varphi_1(s_\rho)}{\varphi_2(s_\rho)} \right| \leq 2\eta |\sigma_1| \left( \frac{1}{|\varphi_2(s_R)|} + \frac{1}{|\varphi_2(s_\rho)|} \right). \quad (2.20)$$

Перепишем неравенство (2.20) в таком виде

$$|\kappa(f_1, \sigma_1; s_R, s_\rho) - \kappa(f_2, \sigma_2; s_R, s_\rho)| \leq \eta K, \quad (2.21)$$

где

$$\kappa(f_j, \sigma_j; s_R, s_\rho) \stackrel{\text{def}}{=} \frac{\varphi_j(s_R)}{\varphi_j(s_\rho)}, \quad K \stackrel{\text{def}}{=} 2|\sigma_1| \frac{|\varphi_2(s_R)| + |\varphi_2(s_\rho)|}{|\varphi_1(s_\rho)\varphi_2(s_\rho)|}. \quad (2.22)$$

Отметим, что

$$\varphi_j(s) = \sigma_j \Phi_j(s), \quad \text{где } \Phi_j(s) \stackrel{\text{def}}{=} \frac{\partial u_j}{\partial \nu} \Big|_{s \in \gamma}, \quad \text{а } \max_{s \in \gamma_1} |\Phi_j(s) - \Psi(s)| \stackrel{(2.13)}{\leq} \eta. \quad (2.23)$$

Поэтому разрешимость задачи (2.13)–(2.14) для функций  $f_1$  и  $f_2$  с необходимостью влечет условие (2.15).  $\square$

<sup>11</sup>См. примечание 10.

**Лемма 2.4** (необходимое и достаточное условие) Пусть  $v_j$  — решение задачи Дирихле (2.4) для функции  $g_j : v \mapsto g_j(v) \stackrel{\text{def}}{=} \sigma_j f_j(v/\sigma_j)$ , где  $j = 1, 2$ , а  $\sigma_j$  — ненулевая константа. Предположим, что

- 1) равенство (2.15) верно для любой точки  $s_R \in \gamma$  (и некоторой  $s_\rho \in \gamma$ );
- 2) хотя бы для одной точки  $s_\rho \in \gamma$  установлена справедливость неравенства

$$\left| \frac{\varphi_1(s_\rho)}{\sigma_1} - \frac{\varphi_2(s_\rho)}{\sigma_2} \right| \leq \delta \ll 1; \quad (2.24)$$

- 3) Функция  $u = u_1$  удовлетворяет условию (2.14).

Тогда функция  $u = u_2$  удовлетворяет аналогу условия (2.14), а именно, условию

$$\max_{s \in \gamma_1} \left| \frac{\partial u}{\partial \nu}(s) - \Psi(s) \right| \leq \lambda(\eta, \delta, \Psi) \stackrel{\text{def}}{=} \eta + \frac{|\Psi(s_R)| + \eta}{|\Psi(s_\rho)| - \eta} \delta + (|\Psi(s_\rho)| + \eta + \delta) \mu(\eta, \Psi), \quad (2.25)$$

где величина  $\mu(\eta, \Psi)$  определена в (2.15).

♥ Заметим, что

$$\left. \frac{\partial u_j}{\partial \nu} \right|_{s_R} = \frac{\varphi_j(s_R)}{\sigma_j} = \kappa_j L_j, \quad \text{где} \quad \kappa_j = \kappa(f_j, \sigma_j; s_R, s_\rho), \quad \text{а} \quad L_j = \frac{\varphi_j(s_\rho)}{\sigma_j}.$$

Поэтому

$$\begin{aligned} \left| \left. \frac{\partial u_1}{\partial \nu} \right|_{s_R} - \left. \frac{\partial u_2}{\partial \nu} \right|_{s_R} \right| &= |\kappa_1 L_1 - \kappa_2 L_2| = |\kappa_1 L_1 - \kappa_1 L_2 + \kappa_1 L_2 - \kappa_2 L_2| \leq |\kappa_1| |L_1 - L_2| + \\ &|L_2| |\kappa_1 - \kappa_2| \stackrel{(2.15)-(2.24)}{\leq} |\kappa(f_j, \sigma_j; s_R, s_\rho)| \delta + \left( \left| \frac{\varphi_1(s_\rho)}{\sigma_1} \right| + \delta \right) \mu(\eta, \Psi) \stackrel{(2.14)}{\leq} \\ &\frac{|\Psi(s_R)| + \eta}{|\Psi(s_\rho)| - \eta} \delta + (|\Psi(s_\rho)| + \eta + \delta) \mu(\eta, \Psi) \stackrel{(2.14)}{\implies} (2.25). \quad \square \end{aligned}$$

**Замечание 2.2** В случае “реальной” постановки задачи ансамбль равенств (2.15) есть та обозначенная в начале параграфа серия  $\mathfrak{S}$  необходимых условий, которая “сходится” к критерию, характеризующему искомую нелинейность  $f \in \mathcal{F}$  по модулю двух быстро проверяемых соотношений. Одним из этих соотношений (в данном, “реальном” случае) является неравенство (2.24), а другим — неравенство (0.4).

2. В этом пункте описывается конструкция численного поиска всех существенно различных правых частей уравнения (0.1), принадлежащих почти минимальной  $\varepsilon$ -сети<sup>12</sup> некоторого компактного подмножества  $\mathcal{F}$  пространства  $X$  формальных степенных рядов<sup>13</sup>

$$f \sim \sum_{m=0}^{\infty} a_m u^m \quad \text{с нормой} \quad \|f\| = \sup_{m \geq 0} |a_m|. \quad (2.26)$$

Эта конструкция применима как непосредственно для задачи (0.1)–(0.2) с искомой функцией  $f$ , так и для “факторизованной” задачи (2.4)–(2.5) с искомой функцией

$$g \sim \sum_{m=0}^{\infty} b_m v^m, \quad \text{определяемой формулой} \quad g(v) = \sigma f(v/\sigma) \quad \text{с некоторым} \quad \sigma \neq 0. \quad (2.27)$$

<sup>12</sup>Напомним [9, 15], что множество  $A$  называется  $\varepsilon$ -сетью для  $\mathcal{F}$ , если  $\mathcal{F} \subset (A + \varepsilon \cdot B_X)$ , где  $B_X$  — единичный шар пространства  $X$ . Если среди всех  $\varepsilon$ -сетей некоторая содержит наименьшее общее количество элементов, то она называется минимальной  $\varepsilon$ -сетью. Под почти минимальной  $\varepsilon$ -сетью понимается  $\varepsilon$ -сеть, которая возможно содержит чуть больше элементов, чем минимальная  $\varepsilon$ -сеть (ср. формулы (2.40) и (2.41)).

<sup>13</sup>Отметим, что если  $\overline{\lim}_{m \rightarrow \infty} \sqrt[m]{|a_m|} = 1/R$ , то  $X$  — это пространство функций, аналитических в круге  $\{|u| < R\}$ . Отметим также (см. [9]), что приводимые ниже построения можно без принципиальных изменений перенести на случай, когда вместо пространства  $X$  рассматривается одно из весовых пространств  $L^2(\mathbb{R}, e^{-u^2})$ ,  $L^2(\mathbb{R}_-, |u|^a e^u)$  или  $L^2([-1, 0], h)$  с другими классическими весами  $h \geq 0$ . Рассмотрение последних двух пространств естественно в силу того, что решение задачи (2.1) удовлетворяет условию  $u \leq 0$ .

Определим следующим образом операцию взятия  $r$ -ой ( $r \in \mathbb{N}$ ) производной:

$$f^{(r)} \sim \sum_{m=0}^{\infty} A_r^m a_m u^{m-r}, \quad \text{где } A_r^m = m(m-1) \cdots (m-r+1). \quad (2.28)$$

Пусть  $r \in \mathbb{N}$ ,  $K_0 > 0$  и  $K_1 > 0$ . Объединение множеств

$$\mathcal{F}(r, K_0, K_1) \stackrel{\text{def}}{=} \left\{ \sum_{m=0}^{\infty} a_m u^m \in X \mid |a_m| \leq K_0, A_r^m |a_m| \leq K_1 \right\} \quad (2.29)$$

по всем  $K_0$  и  $K_1$  содержит все полиномы. Поэтому можно ожидать, что особенности изучаемой задачи проявятся среди  $f \in \mathcal{F}(r, K_0, K_1)$ , если  $K_0$  и  $K_1$  — достаточно велики. Отметим, что

$$\mathcal{F}(r, K_0, K_1) = K_0 \cdot \mathcal{F}(r, 1, K), \quad \text{где } K = K_1/K_0. \quad (2.30)$$

Очевидно следующее

**Предложение 2.1** Для функции  $f \in \mathcal{F}(r, K_0, K_1)$  существует функция  $u_f$ , удовлетворяющая условиям (0.1)–(0.2) тогда и только тогда, когда для факторизованной функции  $g \in \mathcal{F}(r, 1, K_1/K_0)$ , определяемой формулой

$$g(t) = \sigma f(t/\sigma), \quad \text{где } \sigma = 1/K_0, \quad (2.31)$$

функция  $v = \sigma u_f$  удовлетворяет условиям (2.4)–(2.5).

Таким образом, искомые правые части уравнения (0.1) задаются формулой

$$f(u) = \frac{g(\sigma u)}{\sigma}, \quad \sigma \in \mathbb{R} \setminus \{0\}, \quad g \in \mathcal{G} = \mathcal{G}(r, K) \stackrel{\text{def}}{=} \mathcal{F}(r, 1, K), \quad (2.32)$$

в которой функции  $v = \sigma u$  и  $g$  удовлетворяют условиям леммы 2.2 (в случае “идеализированной” постановки задачи) или леммы 2.4 (в случае ее “реальной” постановки).

Множество  $\mathcal{G} = \mathcal{G}(r, K)$  (также как и  $\mathcal{F}(r, K_0, K_1)$ ) компактно в  $X$ , а множество полиномов

$$\mathfrak{P} = \mathfrak{P}_M(r, K) \stackrel{\text{def}}{=} \left\{ \sum_{m=0}^M b_m v^m \in X \mid |b_m| \leq \min\left(1, \frac{K}{A_r^m}\right) \right\}, \quad \text{где } M \geq r \geq 1, \quad (2.33)$$

приближает  $\mathcal{G}$  с точностью

$$\sup_{f \in \mathcal{G}} \inf_{p \in \mathfrak{P}} \|f - p\| = \sup_{m > M} \left\{ |b_m| \mid |b_m| \leq 1, A_r^m |b_m| \leq K \right\} = \sup_{m > M} \min\left\{1, \frac{K}{A_r^m}\right\} = \min\left\{1, \frac{K}{A_r^{M+1}}\right\}. \quad (2.34)$$

**Замечание 2.3** Излагаемый здесь рецепт поиска всех существенно различных правых частей  $f \in \mathcal{F}$  уравнения Грэда–Шафранова предполагает разрешимость задачи Дирихле

$$\Delta v = p(v) \geq 0 \quad \text{в } \omega \in \mathbb{R}^2, \quad v|_{\gamma=\partial\omega} = 0, \quad \text{где } p(v) = \sum_{m=0}^M b_m v^m. \quad (2.35)$$

Условия  $p(v) \geq 0$  и  $v|_{\gamma=\partial\omega} = 0$  влекут  $b_0 \geq 0$ . Поэтому не нужно рассматривать варианты с  $b_0 < 0$ . Кроме того, отслеживая число решений<sup>14</sup> задачи (2.35), нужно проверять выполнение неравенства  $p(v(x, y)) \geq 0$  в  $\omega$ .

Пусть  $M \in \mathbb{N}$ ,  $M \geq r \geq 1$  таково, что  $A_r^{M+1} = (M+1)M \cdots (M-r+2) \geq K > 0$ . Тогда, согласно (2.34), получаем такую формулу для точности приближения

$$\varepsilon \stackrel{\text{def}}{=} K/A_r^{M+1} \leq 1. \quad (2.36)$$

<sup>14</sup>Как известно (см., например, [7]), при нечетном  $M$  и  $b_M > 0$  задача (2.35) имеет (хотя бы одно) решение  $u \in H_0^1(\omega) \cap L^p(\omega)$ , где  $p = M+1$ . С другой стороны, согласно [24], не имеет решения в  $H_0^1(\omega)$ , например, такое уравнение  $\Delta u = u^2 + a_0$ , если  $a_0 > \lambda_1/4$ , где  $\lambda_1$  — первое собственное значение оператора  $-\Delta : H_0^1(\omega) \rightarrow H^{-1}(\omega)$ .



**Предложение 2.2** Любая  $\varepsilon$ -сеть для множества  $\mathfrak{P}$ , состоящая из полиномов этого множества, является  $\varepsilon$ -сетью для  $\mathcal{G}(r, K) \stackrel{(2.32)}{=} \mathcal{F}(r, 1, \varepsilon A_r^{M+1})$ .

♡ Каждый элемент  $g \in \mathcal{G}$  однозначно представим в виде  $g = g_0 + g_1$ , где

$$g_0(u) = \sum_{m=0}^M b_m v^m \in \mathfrak{P}, \quad g_1 = \sum_{m=M+1}^{\infty} b_m v^m.$$

Имеем

$$\|g_1\| \stackrel{(2.26)}{=} \sup_{m \geq M+1} |b_m| \stackrel{(2.33)}{\leq} \sup_{m \geq M+1} \left\{ \frac{K}{A_r^m} \right\} \stackrel{(2.28)}{=} \frac{K}{A_r^{M+1}} \stackrel{(2.36)}{=} \varepsilon.$$

Возьмем из  $\varepsilon$ -сети множества  $\mathfrak{P}$  элемент

$$\hat{p} = \sum_{m=0}^M \hat{b}_m v^m = \sum_{m=0}^{\infty} \hat{b}_m v^m, \quad \text{где } \hat{b}_m = 0 \text{ при } m > M.$$

Тогда

$$\|g_0 - \hat{p}\| \leq \varepsilon \iff \left\| \sum_{m=0}^M (b_m - \hat{b}_m) u^m \right\| \leq \varepsilon \iff |b_m - \hat{b}_m| \leq \varepsilon \quad \forall m = 0, \dots, M.$$

А поскольку  $|b_m| \leq \varepsilon$  при  $m > M$  (ибо  $\|g_1\| \leq \varepsilon$ ) и  $\hat{b}_m = 0$  при  $m > M$ , то

$$|b_m - \hat{b}_m| \leq \varepsilon \quad \text{при } m \geq 0, \quad \text{т.е.} \quad \|g - \hat{p}\| = \sup_m |b_m - \hat{b}_m| \leq \varepsilon. \quad \square$$

Согласно (2.36),  $A_r^{M+1} = (M+1)M \dots (M-r+2) \geq K > 0$ . Поэтому существует число

$$m_* = \min_{r-1 \leq m \leq M} \{m \mid A_r^{m+1} \geq K\} \stackrel{(2.36)}{\iff} \frac{1}{\varepsilon} \in [N_-, N_+) \stackrel{\text{def}}{=} \left[ \frac{A_r^{M+1}}{A_r^{m_*+1}}, \frac{A_r^{M+1}}{A_r^{m_*}} \right). \quad (2.37)$$

Для целого  $m \in [0, M]$  определим

$$B_m \stackrel{\text{def}}{=} \begin{cases} 1 & \text{при } m \in [0, m_*], \\ K/A_r^m & \text{при } m \in [m_* + 1, M] \quad (\text{если } m_* + 1 \leq M). \end{cases} \quad (2.38)$$

Очевидно следующее

**Предложение 2.3** Множество  $\mathfrak{P} \subset X$  состоит из полиномов  $p: v \mapsto p(v) = \sum b_m v^m$ , коэффициенты которых удовлетворяют условию

$$|b_m| \leq B_m, \quad 0 \leq m \leq M.$$

Отображение

$$J: \mathfrak{P} \ni \sum b_m v^m \mapsto b = (b_0, \dots, b_M) \in \mathbf{P} \stackrel{\text{def}}{=} \prod_{m=0}^M [-B_m, B_m] \quad (2.39)$$

есть изометрия между множествами  $\mathfrak{P} \subset X$  и  $\mathbf{P} \subset l_{M+1}^{\infty}$ , где норма элемента  $b = (b_0, \dots, b_M) \in l_{M+1}^{\infty}$  равна  $\|b\| = \max_{0 \leq m \leq M} |b_m|$ .

**Следствие 2.1** Отображение  $J^{-1}$  переводит  $\varepsilon$ -сеть для  $\mathbf{P} \subset l_{M+1}^{\infty}$  в  $\varepsilon$ -сеть для  $\mathfrak{P} \subset X$ .

Хорошо известно (см., например, [6]), что общее число элементов любой  $\varepsilon$ -сети параллелепипеда  $\mathbf{P}$  не меньше

$$L = \prod_{m=0}^M \frac{B_m}{\varepsilon}, \quad (2.40)$$

т.е. не меньше отношения объема  $V(\mathbf{P}) = \prod_{m=0}^M 2B_m$  параллелепипеда  $\mathbf{P}$  к объему  $(M+1)$ -мерного куба  $\mathbf{C}_\varepsilon^{M+1}$ , имеющего ребра длины  $2\varepsilon$ . Учитывая это, построим  $\varepsilon$ -сеть для  $\mathbf{P}$  следующим образом. Возьмем некоторую угловую точку параллелепипеда  $\mathbf{P}$  и отложим от нее вдоль каждого исходящего из нее ребра примыкающие друг к другу отрезки длины  $2\varepsilon$ . При этом, для того или иного ребра последний отрезок, вообще говоря, может выходить за пределы этого ребра. Общее число таких отрезков, отложенных вдоль  $m$ -го ребра, равно

$$\lceil \frac{2B_m}{2\varepsilon} \rceil = \lceil \frac{B_m}{\varepsilon} \rceil, \quad \text{где } \lceil x \rceil - \text{наименьшее целое, больше или равное } x.$$

Так отложенные отрезки определяют примыкающие друг к другу кубы  $\mathbf{C}_\varepsilon^{M+1}$ , покрывающие параллелепипед  $\mathbf{P}$ . В качестве  $\varepsilon$ -сети возьмем их центры. Общее число таких центров есть

$$S = \prod_{m=0}^M \lceil \frac{B_m}{\varepsilon} \rceil \stackrel{(2.40)}{\geq} L. \quad (2.41)$$

В силу (2.37)–(2.38), формулу (2.41) можно переписать в виде

$$S = N^{m_*+1} S_*, \quad \text{где } N = \lceil 1/\varepsilon \rceil, \quad \text{а } S_* = \begin{cases} \prod_{m=m_*+1}^M \lceil \frac{A_r^{M+1}}{A_r^m} \rceil & \text{при } m_* < M, \\ 1 & \text{при } m_* = M, \end{cases} \quad (2.42)$$

**Примеры.** В приведенных ниже примерах в качестве исходных характеристик  $\varepsilon$ -сети в  $\mathcal{G}(r, K)$  задаются три параметра:

- 1) натуральное число  $M$ , которое есть степень приближающих полиномов (элементов  $\varepsilon$ -сети);
- 2) натуральное число  $r \leq M$ ;
- 3) положительное число  $K \leq A_r^{M+1} = (M+1)M \cdot \dots \cdot (M+2-r)$ , которое ограничивает сверху модуль  $r$ -ой производной функций  $g$  из  $\mathcal{G}(r, K)$ .

По этим трем параметрам определяются

- Точность приближения  $\varepsilon = K/A_r^{M+1}$ .
- Натуральное  $m_* \in [r-1, M]$ , равное тому минимальному  $m$ , для которого  $A_r^{m+1} \geq K$ , а также числа<sup>15</sup>  $N_-$  и  $N_+$ , определенные в формуле (2.37).
- Общее число  $S$  (см. (2.42)) элементов  $\varepsilon$ -сети, т.е. полиномов

$$p_{\mathbf{j}} : v \mapsto p_{\mathbf{j}}(v) = \sum_{m=0}^M b_{m, \mathbf{j}} v^m, \quad \text{где } \mathbf{j} = \{j_0, \dots, j_M\}, \quad b_{\mathbf{j}} = \{b_{j_0}, \dots, b_{j_M}\}. \quad (2.43)$$

- Числа

$$B_m \stackrel{\text{def}}{=} \begin{cases} 1 & \text{при } m \in [0, m_*], \\ K/A_r^m & \text{при } m \in [m_*+1, M] \quad (\text{если } m_*+1 \leq M), \end{cases}$$

ограничивающие коэффициенты  $b_{m, j_m}$  полиномов (2.43).

- Сами коэффициенты

$$b_{m, j_m} = \varepsilon (2j_m + 1 - \lceil B_m/\varepsilon \rceil), \quad j_m = 0, \dots, \lceil B_m/\varepsilon \rceil - 1. \quad (2.44)$$

В нижеследующей ТАБЛИЦЕ представлены значения параметров  $\varepsilon$ ,  $S$ ,  $m_*$ ,  $N_-$  и  $N_+$  в зависимости от 5-ти значений  $M = 1, 2, 3, 4, 5$ ,  $M$  значений  $r = 1, \dots, M$  и 2-х значений  $K$ .

<sup>15</sup>В том случае, когда  $1/\varepsilon \notin \mathbb{N}$ , а промежуток  $[N_-, N_+) \ni 1/\varepsilon$  содержит целое число, точность аппроксимации реально чуть лучше, чем  $\varepsilon$ . В силу формулы (2.42) она не хуже, чем  $1/\lceil 1/\varepsilon \rceil \leq \varepsilon$ .

№	$M$	$r$	$K$	$\varepsilon$	$S$	$m_*$	$N_-$	$N_+$
1	1	1	2	1	1	1	1	2
2	2	1	2	0.67	4	1	1	3
3	2	2	2	1/3	27	1	3	$\infty$
4	3	1	2	1/2	8	1	2	4
5	3	2	2	1/6	432	1	6	$\infty$
6	3	3	2	1/12	6912	2	4	$\infty$
7	4	1	2	0.4	18	1	2	5
8	4	2	2	1/10	3000	1	10	$\infty$
9	4	3	2	1/30	540000	2	10	$\infty$
10	4	4	2	1/60	64800000	3	5	$\infty$
11	5	1	2	1/3	54	1	3	6
12	5	2	2	1/15	33750	1	15	$\infty$
13	5	3	2	1/60	43200000	2	20	$\infty$
14	5	4	2	1/180	47239200000	3	15	$\infty$
15	5	5	2	1/360	36279700000000	4	6	$\infty$
16	3	2	10	0.83	16	3	1	2
17	3	3	10	0.42	81	3	1	4
18	4	2	10	1/2	16	3	1	3
19	4	3	10	1/6	2592	3	2	10
20	4	4	10	1/12	103680	3	5	$\infty$
21	5	2	10	1/3	162	3	2	5
22	5	3	10	1/12	207360	3	5	20
23	5	4	10	1/36	75582720	3	15	$\infty$
24	5	5	10	1/72	11609500000	4	6	$\infty$

*Комментарий.* Выгоднее брать вариант, где больше  $K$  (“ширина” функционального класса), но меньше  $S$  (число перебираемых вариантов),  $M$  (степень приближающих полиномов) и  $\varepsilon$  (точность приближения). Из представленных в таблице вариантов определен интерес, по-видимому, представляют варианты № 5 и № 17. При этом, согласно примечанию 15, точность аппроксимации в варианте № 17 не хуже чем  $1/3 < 0.42$ . Что касается вариантов № 2, № 3, № 7, № 8, № 18 и № 19, то в их пользу говорит то, что согласно замечанию 2.3, коэффициент при старшей степени полинома, скорее всего, достаточно будет брать только близким к нулю, а коэффициент при старшей нечетной степени только положительным.

**Замечание 2.4** В рассматриваемом здесь примере уравнения Грэда–Шафранова следует, учитывая замечание 2.3, выбирать программным образом лишь неотрицательные свободные коэффициенты у полиномов  $\varepsilon$ -сети. В этом случае число реально перебираемых вариантов будет равным примерно  $S/2$ .

**Замечание 2.5** В процессе численной проверки выполнения условий, сформулированных в леммах 2.1–2.2 (или леммах 2.3–2.4), следует использовать получаемую информацию для заполнения таблицы соответствий между испытываемыми элементами  $\varepsilon$ -сети и функциями  $\Psi$ , входящими в базу данных множества  $\Psi$ , т.е. множества приближений для нормальных производных  $\left. \frac{\partial u}{\partial v} \right|_{\gamma}$ , которые вычисляются по данным магнитного мониторинга.

### § 3 Примеры единственности и неединственности решения обратной задачи

Во 2-ом и 3-ем пунктах этого параграфа представлены результаты о единственности решения обратной задачи для уравнения  $\Delta u = f(u) \Big|_{\omega \in \mathbb{R}^2} \geq 0$  в рамках “идеализированной” постановки, т.е. когда на

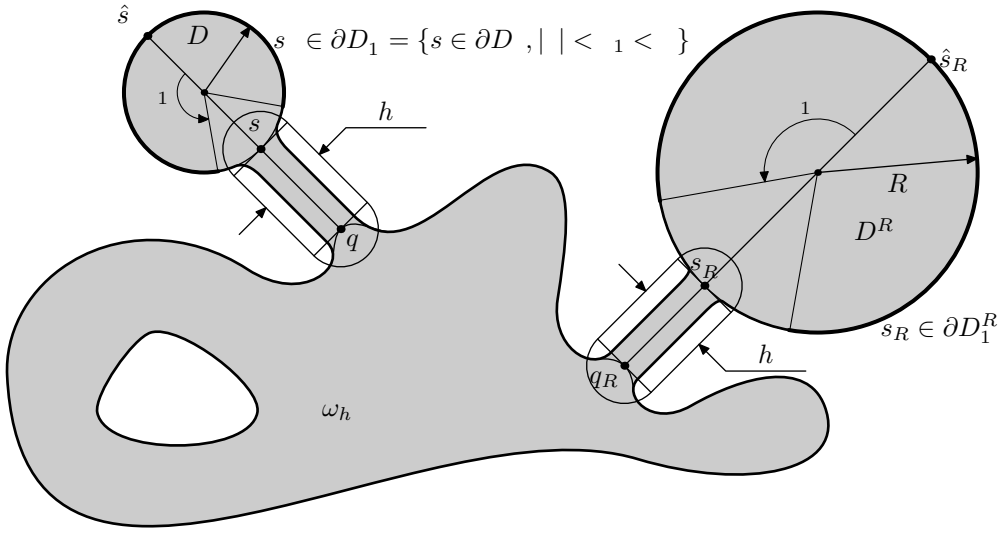


Рис. 1. Пример рассматриваемых областей  $\omega_h$ .

гладкой кривой  $\gamma = \partial\omega$  (нулевой линии уровня функции  $u$ ) всюду известна функция  $\Phi = \partial u / \partial \nu \Big|_{\gamma}$ . Эти результаты получены для аффинных и экспоненциальных классов функций

$$\mathcal{F}_{aff} \stackrel{def}{=} \left\{ f : \mathbb{R} \ni u \mapsto f(u) = au + b \right\} \Big|_{(a,b) \in \mathbb{R}^2}, \quad \mathcal{F}_{exp} \stackrel{def}{=} \left\{ f : \mathbb{R} \ni u \mapsto f(u) = \frac{\lambda e^{2\mu u}}{\mu} \right\} \Big|_{(\lambda > 0, \mu > 0)} \quad (3.1)$$

в случае специального семейства областей  $\omega = \omega_h$ , описываемого в п. 1. Специфическая особенность этих областей заключается в том, что они имеют два непересекающихся “полуострова” в виде дисков  $D^R$  и  $D^\rho$  разных радиусов  $R$  и  $\rho$ , которые примыкают к “материковой” части.

Если “материковая” часть области  $\omega_h$  сводится к узкой перемычке, соединяющей диски  $D^R$  и  $D^\rho$ , то тогда, как показано в 4-ом пункте этого параграфа, для функционального класса

$$\mathcal{F}_{(aff, exp)} \stackrel{def}{=} \left\{ f : \mathbb{R} \ni u \mapsto f(u) = \alpha(au + b) + \beta \frac{\lambda e^{2\mu u}}{\mu} \right\} \Big|_{(\lambda \geq 0, \mu \geq 0)}, \quad (3.2)$$

т.е. объединения классов  $\mathcal{F}_{aff}$  и  $\mathcal{F}_{exp}$ , имеется два существенно различных решения обратной задачи в рамках ее “реальной” постановки. Напомним, что в этом случае функция  $\Phi = \partial u / \partial \nu \Big|_{\gamma}$  задана лишь приближено, да и то лишь на той части кривой  $\gamma$ , которая несколько отдалена от точек, в которых кривизна кривой  $\gamma$  чрезмерно велика.

**1.** Пример областей  $\omega = \omega_h$  представлен на рисунке 1. Дадим формальное описание. В точках  $s_R^* \in \partial D^R$  и  $s_\rho^* \in \partial D^\rho$ , диаметрально противоположных точкам  $\hat{s}_R \in \partial D^R$  и  $\hat{s}_\rho \in \partial D^\rho$ , к дискам  $D^R$  и  $D^\rho$  восстановлены внешние единичные нормали  $\nu_R = \overrightarrow{s_R^* q_R}$  и  $\nu_\rho = \overrightarrow{s_\rho^* q_\rho}$ , которые составляют остов областей  $P_R = \{dist(x, \nu_R) < h\}$  и  $P_\rho = \{dist(x, \nu_\rho) < h\}$ . Область  $P_R$  составлена из прямоугольника, симметричного относительно нормали  $\nu_R$ , и примыкающих к нему полудисков весьма малого радиуса  $h/2$ . Тот из них, который не пересекается с  $D^R$ , обозначим через  $\delta^R$ . Аналогично определяется полудиск  $\delta^\rho \subset D^\rho$ . “Материковая” часть  $\omega$  области  $\omega_h$  представляет собой связную область с гладкой границей, которая имеет ровно две точки пересечения  $q_R$  и  $q_\rho$  (концы нормалей  $\nu_R$  и  $\nu_\rho$ ) с областью  $(D^R \cup (P_R \setminus \delta^R)) \cup (D^\rho \cup (P_\rho \setminus \delta^\rho))$ . Связная область  $\omega_h$  с гладкой границей обладает следующими свойствами: 1)  $D^R \subset \omega_h$ ,  $D^\rho \subset \omega_h$ ,  $\omega \subset \omega_h$ ; 2)  $\omega_h \subset (D^R \cup P_R \cup \omega_h \cup P_\rho \cup D^\rho)$ ; 3)  $\partial\omega_h \setminus (P_R \cup P_\rho) = (\partial D^R \cup \partial\omega \cup \partial D^\rho) \setminus (P_R \cup P_\rho)$ .

Рассматриваемое семейство областей  $\omega_h$  зависит от малого параметра  $h$ , который характеризует ширину “перешейков”, соединяющих “материковую” часть области  $\omega_h$  (возможно состоящую лишь из слившихся “перешейков”) с двумя ее “полуостровами” в виде дисков  $D^R$  и  $D^\rho$  радиусов  $R$  и  $\rho < R$ . Возьмем две точки  $s_R$  и  $s_\rho$ , расположенные соответственно на тех дугах  $\gamma_1^R \subset \partial D^R$  и  $\gamma_1^\rho \subset \partial D^\rho$  (см. рис. 1) границ дисков  $D^R$  и  $D^\rho$ , которые отстоят на некотором расстоянии от

“перешейков”. Если  $\mathcal{F}$  есть одно из множеств  $\mathcal{F}_{aff}$ ,  $\mathcal{F}_{exp}$  или  $\mathcal{F}_{(aff, exp)}$ , то для такой области  $\omega_h$  функция

$$\varkappa : \mathcal{F} \times \mathbb{R} \ni (f, \sigma) \mapsto \varkappa(f, \sigma; s_R, s_\rho) \stackrel{def}{=} \frac{\partial v}{\partial \nu} \Big|_{s_R} / \frac{\partial v}{\partial \nu} \Big|_{s_\rho} \quad s_R \in \gamma_1^R, \quad s_\rho \in \gamma_1^\rho, \quad (3.3)$$

построенная (ср. с (2.6)) по решению  $v$  задачи Дирихле<sup>16</sup>

$$\Delta v = g(v) \quad \text{в } \omega, \quad v \Big|_\gamma = 0, \quad \text{где } g(v) = \sigma f(v/\sigma) \quad (3.4)$$

строго монотонна при малых  $h$  одновременно с функцией

$$\varkappa_0 : (f, \sigma) \mapsto \varkappa_0(f, \sigma) \stackrel{def}{=} \frac{dv^R}{dr} \Big|_{r=R} / \frac{dv^\rho}{dr} \Big|_{r=\rho}, \quad (3.5)$$

которая строится по решениям  $v^R$  и  $v^\rho$  задачи (3.4) соответственно для  $\omega_h = D^R$  и  $\omega_h = D^\rho$ .

Функция  $\varkappa_0$  считается явно. Проверяется, что она строго монотонна. Доказывается, что при малых  $h$  функция  $\varkappa$  тоже строго монотонна. Это позволяет с помощью изложенной в предыдущем параграфе леммы 2.1 установить нижеследующие теоремы 3.1 и 3.2 о единственности решения обратной задачи для уравнения Грэда–Шафранова в классе аффинных и в классе растущих экспоненциальных функций. Результат о неединственности в объединении этих классов представлен в пункте 4.

**2** Отметим, прежде всего, что разрешимость следующей задачи

$$\Delta u = f(u) \quad \text{в } \omega, \quad u = 0 \quad \text{на } \gamma = \partial\omega, \quad (3.6)$$

где  $f \in \mathcal{F}_{aff} = \{f : \mathbb{R} \ni u \mapsto f(u) = au + b\} \Big|_{(a,b) \in \mathbb{R}^2}$  необходимо влечет

$$b \geq 0, \quad a \geq -\lambda_1, \quad \text{причем } b = 0 \iff a = -\lambda_1, \quad (3.7)$$

где  $\lambda_1 = \lambda_1(\omega)$  – первое собственное значение оператора  $-\Delta$ , т.е.

$$-\Delta\psi = \lambda_1\psi, \quad \text{в } \omega, \quad \text{где } \psi > 0 \quad \text{в } \omega, \quad \psi = 0 \quad \text{на } \partial\omega. \quad (3.8)$$

В самом деле,  $b \geq 0$ , т.к.  $au + b \geq 0$  и  $u = 0$  на  $\gamma$ . Далее,

$$\lambda_1 \int u \cdot \psi = - \int u \cdot \Delta\psi = - \int \Delta u \cdot \psi = -a \int u \cdot \psi - b \int \psi,$$

т.е.

$$(\lambda_1 + a) \underbrace{\int u \cdot \psi}_{<0} = -b \underbrace{\int \psi}_{>0}, \quad \text{откуда} \quad \begin{aligned} \lambda_1 + a > 0 &\iff b > 0, \\ \lambda_1 + a = 0 &\iff b = 0. \end{aligned} \quad (3.9)$$

Из сказанного следует, что остается рассмотреть случай  $b > 0 \iff a > -\lambda_1$ .

**Предложение 3.1** Пусть  $a > -\lambda_1$ . Тогда решение  $u$  задачи

$$\Delta u = au + b \geq 0 \quad \text{в } \omega = \omega_h, \quad u \Big|_{\gamma = \partial\omega_h} = 0, \quad \frac{\partial u}{\partial \nu} \Big|_\gamma = \Phi, \quad (3.10)$$

существует т. и т.т., к.  $\int_\gamma \Phi \neq 0$  и  $\Phi = b \partial v_a / \partial \nu \Big|_{s \in \gamma}$ , где  $v_a$  есть решение следующей факторизованной<sup>17</sup> задачи

$$\Delta v = av + 1 \quad \text{в } \omega, \quad v \Big|_{\partial\omega} = 0. \quad (3.11)$$

При этом,  $b$  равно

$$b_{(a, \Phi)} \stackrel{def}{=} \frac{\int_\gamma \Phi}{\int_\gamma \partial v_a / \partial \nu}. \quad (3.12)$$

<sup>16</sup>Напомним (см., например, [11], стр. 370), что решение задачи (3.4) существует, если  $f \in \mathcal{F}$ .

<sup>17</sup>Ср. с предложением 2.1.

♡ Соотношение

$$v = u/b \quad (3.13)$$

связывает решения задач (3.10) и (3.11). При этом  $\partial v/\partial \nu \Big|_{\gamma} \stackrel{(3.13)}{=} \frac{1}{b} \partial u/\partial \nu \Big|_{\gamma} \stackrel{(3.10)}{=} \frac{1}{b} \Phi$ .  $\square$

Функции  $v^R = v_a^R : D^R \rightarrow \mathbb{R}$  и  $v^\rho = v_a^\rho : D^\rho \rightarrow \mathbb{R}$ , фигурирующие в формуле (3.5), зависят от полярного радиуса  $r$ . Они являются решениями задачи (3.11) соответственно в областях  $\omega = D^R$  и  $\omega = D^\rho$ . Отметим, что

$$-\lambda_1(\omega_h) > -\lambda_1(D^R), \quad \text{т.к.} \quad D^R \subsetneq \omega_h. \quad (3.14)$$

Поскольку  $b \stackrel{(3.12)}{=} b_{(a,\Phi)}$ , функция  $f : u \mapsto au + b$  полностью характеризуется параметром  $a$ , подчиненном условию (3.9). В данном случае естественно считать параметр  $a$  аргументом введенных формулами (3.3), (3.5) функций

$$\varkappa : a \mapsto \varkappa(a; s_R, s_\rho) \stackrel{\text{def}}{=} \frac{\partial v_a}{\partial \nu} \Big|_{s_R} / \frac{\partial v_a}{\partial \nu} \Big|_{s_\rho}, \quad s_R \in \gamma_1^R, \quad s_\rho \in \gamma_1^\rho, \quad (3.15)$$

и

$$\varkappa_0 : a \mapsto \varkappa_0(a) \stackrel{\text{def}}{=} \frac{dv_a^R}{dr} \Big|_{r=R} / \frac{dv_a^\rho}{dr} \Big|_{r=\rho}. \quad (3.16)$$

Через  $\dot{\varkappa}$  и  $\dot{\varkappa}_0$  будем обозначать производные этих функций по параметру  $a > -\lambda_1$ .

Без особого труда находятся асимптотики  $\dot{\varkappa}_0(a) \stackrel{\text{def}}{=} \frac{d}{da} \varkappa_0(a)$  при  $a \rightarrow \infty$ , при  $a \rightarrow 0$  и при  $a \rightarrow -\lambda_1(D^R)$ . В частности,

$$\dot{\varkappa}_0(a) \Big|_{a \rightarrow \infty} \sim -\frac{R-\rho}{4R\rho} a^{-3/2}, \quad \dot{\varkappa}_0(0) = -\frac{R}{\rho} \frac{R^2 - \rho^2}{8}, \quad \dot{\varkappa}_0(a) \Big|_{a \rightarrow -\lambda_1(D^R)+0} \sim -\frac{C}{(\lambda_1(D^R) + a)^2}, \quad (3.17)$$

где  $C > 0$ . Однако неравенство

$$\dot{\varkappa}_0(a) \leq -\frac{C}{1+a^2} \quad \forall a > -\lambda_1(D^R), \quad \text{где} \quad C = C(R, \rho) > 0, \quad (3.18)$$

отнюдь не тривиально<sup>18</sup>. Неравенство (3.18) позволяет доказать, что справедлива

**Лемма 3.1** *Существует такое  $h^* > 0$ , что<sup>19</sup>*

$$\dot{\varkappa}(a) < 0 \quad \text{при} \quad h \leq \frac{h^*}{2} \quad \text{и} \quad a \geq -\lambda_1(\omega_{h^*}) > -\lambda_1(\omega_h). \quad (3.19)$$

Из этой леммы (доказанной в параграфе 4) и леммы 2.1 следует

**Теорема 3.1** *Существует такое достаточно малое  $h^* > 0$ , зависящее от  $R$ ,  $\rho$  и геометрии “материковой” части семейства областей  $\omega_h$ , что при  $h \leq h^*/2$  существует лишь одна пара вещественных чисел  $(a, b)$  с  $a \geq -\lambda_1(\omega_{h^*})$ , для которых при заданной функции  $\Phi : \gamma \rightarrow \mathbb{R}$  найдется функция  $u$ , удовлетворяющая условиям (3.10). Эта функция задается формулой  $u = bv_a$ , где  $v_a$  есть решение задачи (3.11).*

♡ В силу леммы 3.1, функция  $\varkappa : a \mapsto \varkappa(a)$ , определенная в (3.15), строго монотонна при  $a \geq -\lambda_1(\omega_{h^*})$ . Поэтому равенство

$$\varkappa(a_1; s_R, s_\rho) = \varkappa(a_2; s_R, s_\rho), \quad (3.20)$$

выражающее, согласно лемме 2.1, необходимое условие разрешимости задачи (3.10) для двух различных пар чисел  $(a_1, b_1)$  и  $(a_2, b_2)$ , невозможно.  $\square$

<sup>18</sup>Его доказательство (составляющее вклад третьего автора в эту работу) приведено в параграфе 5. Основная трудность в доказательстве неравенства (3.18) преодолевается с помощью неравенства (5.19), которое имеет самостоятельный интерес.

<sup>19</sup>Требование  $h \leq h^*/2$  в (3.19) обеспечивает используемое нами в задаче (3.10) неравенство

$$b \neq 0 \stackrel{(3.7)}{\iff} a > -\lambda_1(\omega_h).$$

**Замечание 3.1** Для произвольной отличной от диска односвязной области  $\omega \in \mathbb{R}^2$  с гладкой границей  $\partial\omega$  справедливы [4, 22] два факта, относящиеся к функции  $a \mapsto \varkappa(a; s_R, s_\rho)$ :

1) эта функция аналитична в  $\mathbb{C} \setminus \{\cup_{j \geq 2} (-\lambda_j + i0)\}$ , где  $\lambda_j$  — это  $j$ -ое собственное значение оператора  $-\Delta : H_0^1(\omega) \rightarrow H^{-1}(\omega)$ ;

2) главный член ее асимптотики при  $a \rightarrow \infty$  есть  $\varkappa_0(a) \stackrel{(3.17)}{\sim} -\frac{R-\rho}{4R\rho} a^{-3/2}$ .

Из этих двух фактов (первый из них устанавливается сравнительно легко) сразу следует теорема [4, 22] о том, что обратная задача (в ее “идеализированной” постановке) имеет не более чем конечное множество решений в классе аффинных функций.

До сих пор не подтверждена (или не опровергнута) гипотеза о том, что обратная задача в области с гладкой границей имеет ровно одно решение в классе аффинных функций. Более того, остаются открытыми вопросы о существовании или несуществовании (отличной от диска) **выпуклой** области с гладкой границей, в которой обратная задача имеет ровно одно или, наоборот, не менее двух решений в классе аффинных функций. Численный анализ этих вопросов затронут в работе [2].

**3.** Рассмотрим вопрос о реконструкции функции  $f \in \mathcal{F}_{exp} \stackrel{def}{=} \{f : \mathbb{R} \ni u \mapsto f(u) = \frac{\lambda e^{2\mu u}}{\mu}\} \Big|_{(p>0, q>0)}$ , для которой при заданной функции  $\Phi : \gamma \rightarrow \mathbb{R}$  найдется решение  $u$  задачи

$$\Delta u = \frac{\lambda e^{2\mu u}}{\mu} \quad \text{в } \omega = \omega_h, \quad u|_{\gamma=\partial\omega_h} = 0, \quad \frac{\partial u}{\partial \nu} \Big|_{\gamma} = \Phi, \quad (3.21)$$

**Предложение 3.2** Решение  $u$  задачи (3.21) существует т. и т.т., к.  $\Phi = \frac{1}{2\mu} \frac{\partial v_\lambda}{\partial \nu} \Big|_{s \in \gamma}$ , где  $v_\lambda$  есть решение<sup>20</sup> следующей факторизованной задачи

$$\Delta v = \lambda e^v > 0 \quad \text{в } \omega, \quad v|_{\partial\omega} = 0. \quad (3.22)$$

При этом, параметр  $\mu$  равен

$$\mu(\lambda, \Phi) \stackrel{def}{=} \frac{\int_{\gamma} \partial v_\lambda / \partial \nu}{\int_{\gamma} \Phi}. \quad (3.23)$$

♡ Соотношение

$$v = 2\mu u \quad (3.24)$$

связывает решения задач (3.21) и (3.22). При этом  $\partial v / \partial \nu \Big|_{\gamma} \stackrel{(3.24)}{=} \frac{1}{b} \partial u / \partial \nu \Big|_{\gamma} \stackrel{(3.21)}{=} \Phi / b$ .  $\square$

Если  $\omega = D^R$ , то решение  $v_\lambda = v_\lambda^R$  задачи (3.22) зависят от полярного радиуса  $r$  и задается, как нетрудно проверить, следующей формулой

$$v_\lambda^R(r) = \frac{1}{2} \left( \ln \frac{4q^2(R)}{\lambda} - 2 \ln(q^2(R) - r^2) \right), \quad \text{где } q(R) = \frac{1 + \sqrt{1 + \lambda R^2}}{\sqrt{\lambda}} > R. \quad (3.25)$$

Поскольку  $\mu \stackrel{(3.23)}{=} \mu(\lambda, \Phi)$ , функция  $f : u \mapsto \frac{\lambda}{\mu} e^{2\mu u}$  полностью характеризуется параметром  $\lambda > 0$ . Будем поэтому считать параметр  $\lambda > 0$  аргументом введенных формулами (3.3), (3.5) функций

$$\varkappa : \lambda \mapsto \varkappa(\lambda; s_R, s_\rho) \stackrel{def}{=} \frac{\partial v_\lambda}{\partial \nu} \Big|_{s_R} / \frac{\partial v_\lambda}{\partial \nu} \Big|_{s_\rho}, \quad s_R \in \gamma_1^R, \quad s_\rho \in \gamma_1^\rho, \quad (3.26)$$

и

$$\varkappa_0 : \lambda \mapsto \varkappa_0(\lambda) \stackrel{def}{=} \frac{dv_\lambda^R}{dr} \Big|_{r=R} / \frac{dv_\lambda^\rho}{dr} \Big|_{r=\rho} \stackrel{(3.25)}{=} \frac{R(1 + \sqrt{1 + \lambda \rho^2})}{\rho(1 + \sqrt{1 + \lambda R^2})}. \quad (3.27)$$

Через  $\dot{\varkappa}$  и  $\dot{\varkappa}_0$  будем обозначать производные этих функций по параметру  $\lambda$ . Из (3.27) очевидным образом следует, что

$$\dot{\varkappa}_0(\lambda) = \frac{(\rho^2 - R^2)\alpha}{2\sqrt{1 + \lambda R^2} \sqrt{1 + \lambda \rho^2} (1 + \sqrt{1 + \lambda R^2})^2},$$

<sup>20</sup>См. примечание 16.

где

$$\alpha = 1 + \frac{\rho^2 + R^2 + \lambda\rho^2 R^2}{\rho^2\sqrt{1 + \lambda R^2} + R^2\sqrt{1 + \lambda\rho^2}} > 0.$$

**Лемма 3.2** *Существует такое  $h^* > 0$ , что для области  $\omega_h$  с  $h \leq h^*$  справедливо неравенство*

$$\dot{z}(\lambda) < 0 \quad \text{для любого } \lambda > 0. \quad (3.28)$$

Доказательство проводится по той же схеме, что и доказательство леммы 3.1.

**Теорема 3.2** *Существует такое достаточно малое  $h^* > 0$ , зависящее от  $R$ ,  $\rho$  и геометрии “материковой” части семейства областей  $\omega_h$ , что при  $h \leq h^*$  существует лишь одна пара положительных чисел  $(\lambda, \mu)$ , для которых при заданной функции  $\Phi : \gamma \rightarrow \mathbb{R}$  найдется функция  $u$ , удовлетворяющая условиям (3.21). Эта функция задается формулой  $u = \frac{v_\lambda}{2\mu}$ , где  $v_\lambda$  есть решение задачи (3.22).*

Доказательство аналогично доказательству теоремы 3.1.

4. Пусть  $a$ ,  $b$ ,  $\lambda$ ,  $\mu$  и  $r$  — положительные числа. Обозначим через  $u_1^r$  решение задачи

$$\Delta u_1 = au_1 + b \geq 0 \quad \text{в } D^r \stackrel{\text{def}}{=} \{\xi \stackrel{\text{def}}{=} \sqrt{x^2 + y^2} < r\}, \quad u_2|_{\partial D^r} = 0, \quad (3.29)$$

а через  $u_2^r$  — решение такой задачи:

$$\Delta u_2 = \frac{\lambda e^{2\mu u_2}}{\mu} \quad \text{в } D^r, \quad u_2|_{\partial D^r} = 0. \quad (3.30)$$

Непосредственная проверка показывает, что<sup>21</sup>

$$u_1^r : [0, r] \ni \xi \mapsto u_1^r(\xi) = \frac{b}{a} \left( \frac{I_0(\sqrt{a}\xi)}{I_0(\sqrt{a}r)} - 1 \right), \quad (3.31)$$

а

$$u_2^r : [0, r] \ni \xi \mapsto u_2^r(\xi) = \frac{1}{2\mu} \left( \ln \frac{4q^2(r)}{\lambda} - 2 \ln (q^2(r) - \xi^2) \right), \quad \text{где } q(r) = \frac{1 + \sqrt{1 + \lambda r^2}}{\sqrt{\lambda}} > r. \quad (3.32)$$

**Предложение 3.3** *Пусть  $0 < \rho < R = 1$ . Тогда функции  $u_1^R$ ,  $u_2^R$ ,  $u_1^\rho$ ,  $u_2^\rho$  удовлетворяют условиям*

$$\frac{d}{dr} u_1^R(r) \Big|_{r=R} = \frac{d}{dr} u_2^R(r) \Big|_{r=R} = 1, \quad \frac{d}{dr} u_1^\rho(r) \Big|_{r=\rho} = \frac{d}{dr} u_2^\rho(r) \Big|_{r=\rho} \quad (3.33)$$

в том и только в том случае, когда входящие в формулы (3.31)–(3.32) положительные числа  $b$ ,  $\lambda$  и  $\mu$  следующим образом зависят от параметра  $a > 0$ :

$$b = \sqrt{a} \frac{I_0(\sqrt{a})}{I_1(\sqrt{a})}, \quad \lambda = \mu(\mu + 2), \quad \mu = \frac{2(c - \rho)}{(1 - c^2)\rho}, \quad \text{где } c = \frac{I_1(\sqrt{a}\rho) I_0(\sqrt{a})}{I_0(\sqrt{a}\rho) I_1(\sqrt{a})}, \quad (3.34)$$

♡ Поскольку

$$\frac{d}{dr} u_1^r(\xi) = \frac{b}{\sqrt{a}} \frac{I_1(\sqrt{a}\xi)}{I_0(\sqrt{a}r)}, \quad \text{а} \quad \frac{d}{dr} u_2^r(\xi) = \frac{2\xi}{\mu(q^2(r) - \xi^2)}, \quad (3.35)$$

то первые два равенства в (3.33) означают, что

$$b = \sqrt{a} \frac{I_0(\sqrt{a})}{I_1(\sqrt{a})} \quad \text{и} \quad \frac{2}{\mu(q^2(1) - 1)} = 1 \quad \stackrel{(3.31)}{\iff} \quad \lambda = \mu(\mu + 2). \quad (3.36)$$

<sup>21</sup>Функции Бесселя  $I_0$ ,  $I_1$  представлены в формулах (4.4), (4.5).



Последнее равенство в (3.33) эквивалентно таким соотношениям:

$$\frac{2\rho}{\mu(q^2(\rho) - \rho^2)} = c \stackrel{(3.31)}{\iff} \frac{\rho(2 + \mu)}{1 + \sqrt{1 + (2 + \mu)\mu\rho^2}} = c \stackrel{\mu > 0, \rho \neq 1}{\iff} \mu = \frac{2(c - \rho)}{(1 - c^2)\rho}, \quad (3.37)$$

где

$$c = \left. \frac{d}{dr} u_1^\rho(r) \right|_{r=\rho} \stackrel{(3.35)-(3.36)}{\iff} c = \frac{I_1(\sqrt{a}\rho) I_0(\sqrt{a})}{I_0(\sqrt{a}\rho) I_1(\sqrt{a})}. \quad \square \quad (3.38)$$

Рассмотрим пример “реальной” постановки обратной задачи (0.1)–(0.2), т.е. задачи о поиске существенно различных функций  $f = f_j \in \mathcal{F}$ , для которых имеются функции  $u = u_{f_j}$ , удовлетворяющие, во-первых, уравнению

$$\Delta u(x, y) = f(u(x, y)) \geq 0$$

в области  $\omega = \omega_h$ , состоящей из двух непересекающихся дисков  $D^R$  и  $D^\rho$  радиусов  $R = 1$  и  $\rho = 1/2$ , соединенных очень узкой короткой перемычкой<sup>22</sup> и,

во-вторых, таким граничным условиям:

$$u|_{\gamma=\partial\omega} = 0 \quad \text{и} \quad \max_{s \in \gamma_1 \subset \gamma} \left| \frac{\partial u(s)}{\partial \nu} - \Psi(s) \right| \leq \eta \ll 1,$$

где  $\Psi$  — заданная фиксированная функция,  $\gamma_1 = \partial D_1^R \cup \partial D_1^\rho$ , а

$$\partial D_1^R = \{s \in \partial D^R \mid |\theta| < \theta_1 < \pi\} \quad \text{и} \quad \partial D_1^\rho = \{s \in \partial D^\rho \mid |\theta| < \theta_1 < \pi\}$$

— это (см. рис 1) те части границы  $\gamma$  области  $\omega_h$ , которые несколько отдалены от перемычки, т.е. от тех точек, в которых кривизна кривой  $\gamma = \partial\omega_h$  чрезмерно велика.

Зададим следующим образом функцию

$$\Psi(s) = \begin{cases} 1 & \text{при } s \in D_1^R, \\ \Psi \stackrel{(3.38)}{=} \Psi_a \stackrel{def}{=} \frac{I_1(\sqrt{a}/2) I_0(\sqrt{a})}{I_0(\sqrt{a}/2) I_1(\sqrt{a})} & \text{при } s \in D_1^\rho. \end{cases} \quad (3.39)$$

Как следует из предыдущих построений и формул

$$b = \sqrt{a} \frac{I_0(\sqrt{a})}{I_1(\sqrt{a})}, \quad \lambda = \mu(\mu + 2), \quad \mu = \frac{2(c - \rho)}{(1 - c^2)\rho}, \quad \text{где } c = \frac{I_1(\sqrt{a}\rho) I_0(\sqrt{a})}{I_0(\sqrt{a}\rho) I_1(\sqrt{a})},$$

для коэффициентов  $b = b(a)$ ,  $\lambda = \lambda(a)$  и  $\mu = \mu(a)$ , определяющих функции

$$f_1 : \mathbb{R} \ni u \mapsto f_1(u) = au + b, \quad f_2 : \mathbb{R} \ni u \mapsto f_2(u) = \frac{\lambda e^{2\mu u}}{\mu},$$

в этих условиях и при достаточно малой ширине перемычки  $h$ , функции  $f_1 \in \mathcal{F}_{aff}$  и  $f_2 \in \mathcal{F}_{exp}$  являются существенно различными (см. (0.4)) в смысле такого оцениваемого (экспертами) коэффициента “различия”:

$$\mathcal{E}_{L^p}(u_{f_1}, u_{f_2}) = \frac{2 \|f_1(u_{f_1}) - f_2(u_{f_2})\|_{L^p}}{\|f_1(u_{f_1})\|_{L^p} + \|f_2(u_{f_2})\|_{L^p}},$$

А именно, при достаточно малом  $h > 0$

- если  $a = 10$ , то

$$\Psi_a \approx 0.75, \quad \mathcal{E}_{L^2} \approx 0.03, \quad \mathcal{E}_{L^\infty} \approx 0.1, \quad b \approx 3.85, \quad \lambda \approx 9.74, \quad \mu \approx 2.28,$$

при этом полный ток  $I \approx 8.64$ ;

- если  $a = 10^2$ , то

$$\Psi_a \approx 0.94, \quad \mathcal{E}_{L^2} \approx 0.14, \quad \mathcal{E}_{L^\infty} \approx 0.5, \quad b \approx 10.5, \quad \lambda \approx 276, \quad \mu \approx 15.6,$$

при этом полный ток  $I \approx 9.2$ .

Представление о функциях  $u_{f_1}$ ,  $u_{f_2}$ ,  $f_1(u_{f_1})$ ,  $f_2(u_{f_2})$  дают их “предельные” (при  $h \rightarrow 0$ ) графики, изображенные (для  $a = 10$  и  $a = 10^2$ ) на рис. 2.

<sup>22</sup>Это означает, что “материковая” часть этой области представленной на (см. рис. 1) свелась к этой перемычке.

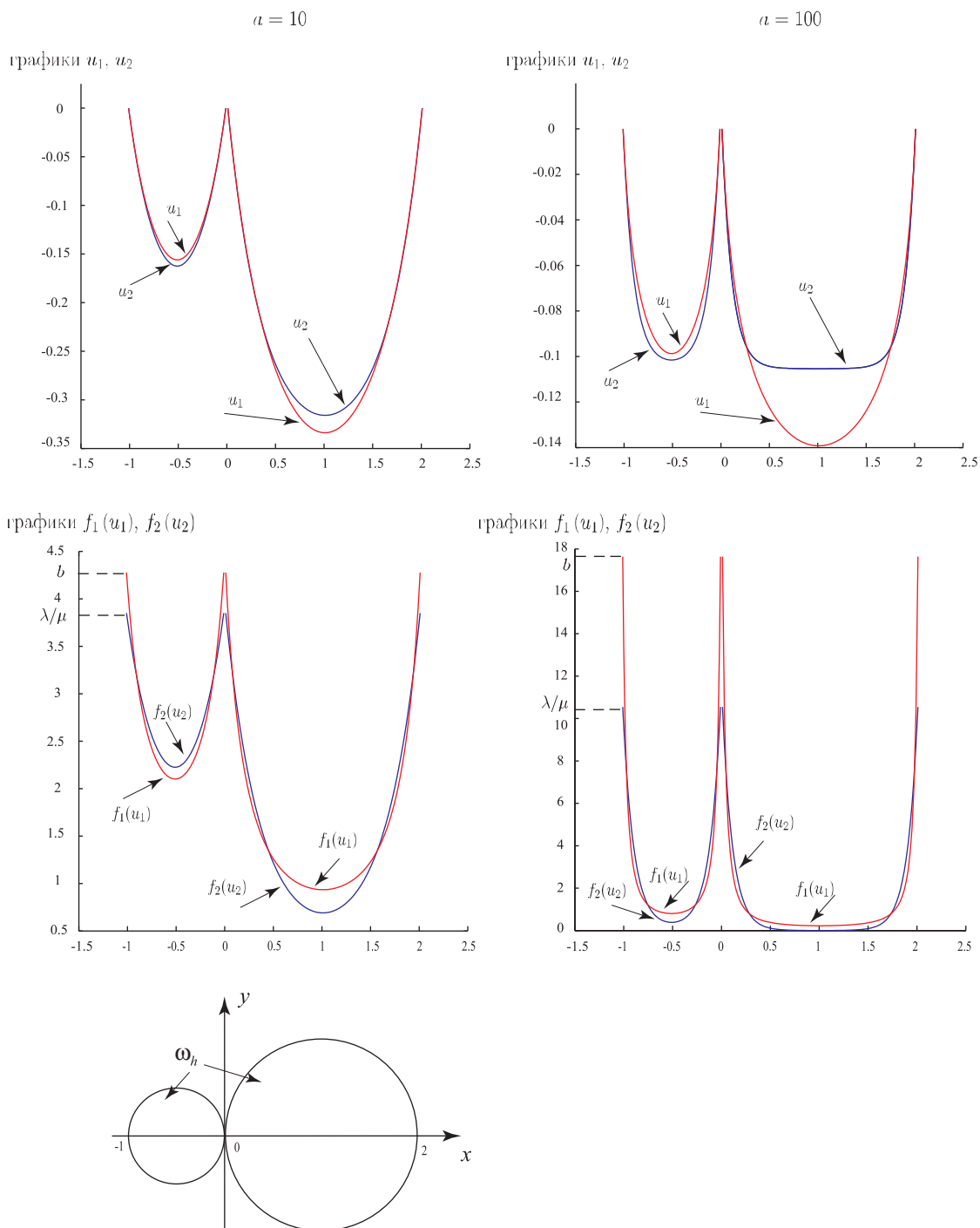


Рис. 2. Графики функций  $x \mapsto u_k(x, 0)$ ,  $x \mapsto f_k(u_k(x, 0))$  при  $a = 10$  и  $a = 100$  в предельной при  $h \rightarrow 0$  области  $\omega_h$ , состоящей из двух дисков радиусов  $1/2$  и  $1$ . Соединяющая их “перемычка” в пределе стягивается в некоторую кривую (состоящую не более чем из двух отрезков), которая на рисунке заменена началом координат.

#### § 4 Доказательство леммы 3.1

Благодаря неравенству (3.18), для доказательства леммы 3.1 достаточно показать, что для любого  $t > 0$  (в частности, для  $t \stackrel{(3.18)}{=} C/2$ ) существует такое  $h^* > 0$ , что

$$|\dot{\varkappa}(a) - \dot{\varkappa}_0(a)| \leq \frac{t}{1+a^2} \quad \text{при } h \leq \frac{h^*}{2} \quad \text{и } a \geq -\lambda_1(\omega_{h^*}) > -\lambda_1(\omega_h). \quad (4.1)$$

Имеем  $\varkappa = \delta_R/\delta_\rho$ ,  $\varkappa_0 = d_R/d_\rho$ , где

$$\delta_R = \left. \frac{\partial v_a}{\partial \nu} \right|_{s=s_R}, \quad \delta_\rho = \left. \frac{\partial v_a}{\partial \nu} \right|_{s=s_\rho}, \quad d_R = \left. \frac{dv_a^R}{dr} \right|_{r=R}, \quad d_\rho = \left. \frac{dv_a^\rho}{dr} \right|_{r=\rho}.$$

Поэтому

$$\dot{\varkappa} = \frac{\dot{\delta}_R \delta_\rho - \delta_R \dot{\delta}_\rho}{\delta_\rho^2}, \quad \dot{\varkappa}_0 = \frac{\dot{d}_R d_\rho - d_R \dot{d}_\rho}{d_\rho^2}. \quad (4.2)$$

Полагая  $\varepsilon_R \stackrel{def}{=} \delta_R - d_R$ ,  $\varepsilon_\rho \stackrel{def}{=} \delta_\rho - d_\rho$ , получаем

$$\dot{\varkappa} - \dot{\varkappa}_0 = \frac{\dot{\varepsilon}_R d_\rho - \dot{\varepsilon}_\rho d_R}{d_\rho^2} + \frac{\varepsilon_R \dot{d}_R - \varepsilon_\rho \dot{d}_\rho}{d_\rho^2} + \frac{\dot{\varepsilon}_R \varepsilon_\rho - \varepsilon_R \dot{\varepsilon}_\rho}{d_\rho^2} - \varepsilon_\rho \frac{d_\rho + \delta_\rho}{d_\rho^2 \delta_\rho^2} [\dot{\delta}_R \delta_\rho - \delta_R \dot{\delta}_\rho]. \quad (4.3)$$

Функция  $d_R$  явно выражается через функции Бесселя индексов 0 и 1:

$$J_0(x) = \sum_{k \geq 0} \frac{(-1)^k}{(k!)^2} \left(\frac{x}{2}\right)^{2k}, \quad I_0(x) = \sum_{k \geq 0} \frac{1}{(k!)^2} \left(\frac{x}{2}\right)^{2k}, \quad (4.4)$$

$$J_1(x) = \sum_{k \geq 0} \frac{(-1)^k}{k!(k+1)!} \left(\frac{x}{2}\right)^{2k+1} = -J'_0(x), \quad I_1(x) = \sum_{k \geq 0} \frac{1}{k!(k+1)!} \left(\frac{x}{2}\right)^{2k+1} = I'_0(x). \quad (4.5)$$

Имеем

$$d_R(a) = \begin{cases} \frac{1}{\sqrt{|a|}} \frac{J_1(R\sqrt{|a|})}{J_0(R\sqrt{|a|})} & \text{при } -(\mu_1/R)^2 < a < 0, \\ R/2 & \text{при } a = 0, \\ \frac{1}{\sqrt{a}} \frac{I_1(R\sqrt{a})}{I_0(R\sqrt{a})} & \text{при } a > 0, \end{cases} \quad (4.6)$$

где  $\mu_1 = 2.4048\dots$  — наименьший положительный нуль функции  $J_0$ . Отметим, что  $\lambda_1(D^R) = (\mu_1/R)^2$ . Согласно хорошо известным асимптотикам функций Бесселя и их производных,

$$d_R(a) \sim a^{-1/2}, \quad \dot{d}_R(a) \sim -\frac{1}{2} a^{-3/2} \quad \text{при } a \rightarrow +\infty. \quad (4.7)$$

Поэтому, учитывая, гладкость и положительность функции  $a \mapsto d(a) \stackrel{def}{=} d_r(a)$ , где  $r = R$  или  $r = \rho$ , а также включение  $D^r \subsetneq \omega_h$  (влекущее неравенство  $\lambda_1(D^r) > \lambda_1(\omega_h)$ ), заключаем, что существуют такие положительные величины  $C_1$  и  $C_2$ , зависящие лишь от  $R$ ,  $\rho$  и  $\delta\lambda_h \stackrel{def}{=} \lambda_1(D^R) - \lambda_1(\omega_h) > 0$ , что

$$C_1 \leq d(a) (1 + a_+^{1/2}) \leq C_2, \quad |\dot{d}(a)| \leq \frac{C_2}{1 + a_+^{3/2}} \quad \text{при } a \geq -\lambda_1(\omega_h) = -\lambda_1(D^R) + \delta\lambda_h. \quad (4.8)$$

где  $a_+ = \max(0, a)$ . Отсюда и (4.3) получаем, что лемма 3.2 будет доказана, если будет установлено, что для некоторого числа  $C_3 = C_3(C_1, C_2) > 1$  и любого  $t > 0$  найдется такое  $h^* > 0$ , что

$$C_3 \left| \frac{\dot{\varepsilon}(a)}{d(a)} \right| \leq \frac{t}{1 + a_+^2}, \quad C_3 \left| \varepsilon(a) \frac{\dot{d}(a)}{d^2(a)} \right| \leq \frac{t}{1 + a_+^2} \quad \text{при любом } h \leq h^*/2 \quad \text{и } a \geq -\lambda_1(\omega_{h^*}), \quad (4.9)$$

где  $\varepsilon = \varepsilon_R$  или  $\varepsilon = \varepsilon_\rho$ . Для доказательства оценок (4.9) достаточно (в силу (4.8)) показать, что для некоторого числа  $C_4 = C_4(C_1, C_2) > 1$  и любого  $t > 0$  найдется такое  $h^* > 0$ , что

$$C_4 |\varepsilon(a)| \leq \frac{t}{1 + a_+^{1/2}}, \quad C_4 |\dot{\varepsilon}(a)| \leq \frac{t}{1 + a_+^2} \quad \text{при любом } h \leq h^*/2 \text{ и } a \geq -\lambda_1(\omega_{h^*}). \quad (4.10)$$

Ясно, что достаточно установить оценки (4.10) лишь для  $\varepsilon = \varepsilon_R$ . Заметим, что

$$\varepsilon_R = \frac{\partial w}{\partial r} \Big|_{s=s_R}, \quad \dot{\varepsilon}_R = \frac{\partial \dot{w}}{\partial r} \Big|_{s=s_R}, \quad \text{где } w = (v_a - v_a^R) \Big|_{D=D^R}. \quad (4.11)$$

При этом,

$$\Delta w - aw = 0 \quad \text{в } D = D^R, \quad w|_{\partial D \setminus \Gamma_h} = 0, \quad w|_{\Gamma_h} = v_a|_{\Gamma_h}, \quad (4.12)$$

$$\Delta \dot{w} - a\dot{w} = w \quad \text{в } D = D^R, \quad \dot{w}|_{\partial D \setminus \Gamma_h} = 0, \quad \dot{w}|_{\Gamma_h} = \dot{v}_a|_{\Gamma_h}, \quad (4.13)$$

где

$$\Gamma_h = \partial D \cap \omega_h, \quad (4.14)$$

а  $\dot{v}_a$  есть решение следующей задачи

$$\Delta \dot{v}_a - a\dot{v}_a = v_a \quad \text{в } \omega, \quad \dot{v}_a|_{\Gamma} = 0. \quad (4.15)$$

Чуть ниже доказывается

**Лемма 4.1** . Для любого  $\alpha > 0$  существует такое  $h^* > 0$ , что

$$\max_{\Gamma_h} |v_a|_{\Gamma_h} \leq \alpha, \quad \max_{\Gamma_h} |\dot{v}_a|_{\Gamma_h} \leq \alpha \quad \text{при любом } h \leq \hat{h} = h^*/2 \text{ и } a \geq -\lambda_1(\omega_{h^*}). \quad (4.16)$$

Проверим, что эта лемма позволяет установить оценки (4.10) и потому завершить доказательство леммы 3.1. В самом деле, в точке  $z = (x, y) \in \omega$ , согласно формуле Грина, имеем

$$w(z) = \int_{s \in \Gamma_h} v_a(s) \frac{\partial}{\partial \nu_s} G_a(z-s) ds, \quad \dot{w}(z) = \int_{s \in \Gamma_h} \dot{v}_a(s) \frac{\partial}{\partial \nu_s} G_a(z-s) ds + \int \int_{\zeta \in D^R} w(\zeta) G_a(z-\zeta) d\zeta, \quad (4.17)$$

где функция Грина  $z = (x, y) \mapsto G_a(z)$  определяется как решение следующей задачи

$$\left( \frac{\partial^2}{\partial x^2} + \frac{\partial^2}{\partial y^2} - a \right) G_a(z) \Big|_{z=(x,y) \in \omega} = \delta(x, y), \quad G_a(z) \Big|_{z \in \partial \omega} = 0.$$

Известно (см., например, [16]), что эта функция Грина и ее производные экспоненциально убывают при  $a \rightarrow \infty$ , точнее, имеют место такие оценки:

$$|\partial_x^k \partial_y^l G_a(x, y)| \leq C_{kl} \exp(-C(r_0)\sqrt{a}) \quad \text{при } a \rightarrow \infty \text{ и } |z| \geq r_0 > 0, \quad (4.18)$$

где  $C_{kl} > 0$  и  $C(r_0) > 0$  — некоторые константы. Кроме того, очевидно, что при  $|z| \geq r_0$  существует такая константа  $C^*(r_0) > 0$ , что  $|G_a(z)| \leq C^*(r_0)$ . Поэтому оценки (4.10) следуют из формул (4.17).

**Доказательство леммы 4.1.** Прежде всего отметим, что

$$\tau \stackrel{\text{def}}{=} \lambda_1(\omega_{\hat{h}}) - \lambda_1(\omega_{h^*}) > 0, \quad \text{т.к. } \omega_{\hat{h}} \subsetneq \omega_{h^*}. \quad (4.19)$$

Поэтому существует такое число  $C_\tau > 0$ , что

$$|v_a| \leq C_\tau \leq \infty \quad \text{при } a \geq -\lambda_1(\omega_{h^*}) \text{ и } h \in (0, \hat{h}]. \quad (4.20)$$

Рассмотрим далее две подобласти:  $D = D^R$  и  $\omega_h \setminus D$ . В каждой из этих подобластей, также как и в области  $\omega_h$ , обе функции  $v_a$  и  $\dot{v}_a$  удовлетворяют уравнению  $\Delta \psi - a\psi = g$ , где  $g \stackrel{(3.11)}{=} 1$  для

$\psi = v_a$  и  $g \stackrel{(4.15)}{=} v_a \stackrel{(4.20)}{\in} [-C_\tau, C_\tau]$  для  $\psi = \dot{v}_a$ . Тем самым, существует такая константа  $K_\tau > 0$ , что

$$|\psi| \leq K_\tau \leq \infty \quad \text{при } a \geq -\lambda_1(\omega_{h^*}) \quad \text{и } h \in (0, \hat{h}].$$

При этом, на границе подобластей  $D$  и  $\omega_h \setminus D$  функция  $\psi$  всюду равна нулю, кроме кривой  $\Gamma_h$ .

Покажем теперь, что импликация

$$\left( \exists \alpha > 0 \quad \forall h^* > 0 \quad \exists h \leq \hat{h} = h^*/2 \quad \exists a \geq -\lambda_1(\omega_{h^*}) \right) \implies \max_{\Gamma_h} |\psi|_{\Gamma_h} > \alpha \quad (4.21)$$

приводит к абсурду. Согласно сделанному предположению, на некоторой дуге  $\Gamma_* \subset \Gamma_h$  имеем:  $|\psi| > \alpha/2$  при любом, сколь угодно малом  $h^* > 0$ . При этом,  $\psi = 0$  на  $\partial\omega_h$ . Поэтому в некоторой точке  $z_* \in \Gamma_*$  производная функции  $\psi|_{\omega_h \setminus D}$  по направлению внешней (относительно  $\omega_h \setminus D$ ) нормали к  $\Gamma_*$  стремится при  $h_* \rightarrow 0$  к  $-\infty$  (если  $\psi(z_*) < 0$ ) или к  $+\infty$  (если  $\psi(z_*) > 0$ ). Эта производная должна совпадать (в той же точке  $z_* \in \Gamma_*$ ) с нормальной производной функции  $\psi|_D$  по направлению внутренней (относительно  $D$ ) нормали к  $\Gamma_*$ . Но при любом  $h^*$  эта производная ограничена снизу при  $\psi(z_*) < 0$ , а при  $\psi(z_*) > 0$  она ограничена сверху (поскольку  $\psi|_{\partial D \setminus \Gamma_h} = 0$ ). Полученное противоречие доказывает лемму 4.1, а тем самым, и лемму 3.1.

## § 5 Доказательство неравенства (3.18)

Рассмотрим логарифмические производные функций Бесселя (см. (4.4)–(4.5))

$$F(x) \stackrel{def}{=} \frac{I_1(x)}{I_0(x)} \quad \text{для } x > 0, \quad \Phi(x) \stackrel{def}{=} \frac{J_1(x)}{J_0(x)} \quad \text{для } x \in (0, \mu_1), \quad (5.1)$$

где  $\mu_1 = 2.4048\dots$  — наименьший положительный нуль  $J_0$ .

**Лемма 5.1** . При любых  $q > 1$  и  $x \in (0, \mu_1/q)$  справедливо неравенство

$$\frac{d}{dx} \left( \frac{\Phi(qx)}{\Phi(x)} \right) \geq \frac{(q-1)x}{8}. \quad (5.2)$$

**Лемма 5.2** . При любых  $q > 1$  и  $x > 0$  верно неравенство

$$\frac{d}{dx} \left( \frac{F(qx)}{F(x)} \right) \leq -\frac{(q-1)x}{9q^3(1+x^4)}. \quad (5.3)$$

Выведем неравенство (3.18) из<sup>23</sup> лемм 5.1 и 5.2 . Заметим, что

$$\varkappa_0(a) \stackrel{(3.5)}{=} \begin{cases} \Phi(R\sqrt{|a|})/\Phi(\rho\sqrt{|a|}) & \text{при } a < 0, \\ R/\rho & \text{при } a = 0, \\ F(R\sqrt{a})/F(\rho\sqrt{a}) & \text{при } a \geq 0. \end{cases} \quad (5.4)$$

Пусть  $x = \rho\sqrt{|a|}$ , а  $q=R/\rho$ . Применяя леммы 5.1 и 5.2, получаем, что для любого  $a < 0$

$$\varkappa_0(a) = -\frac{\rho}{2\sqrt{|a|}} \frac{d}{dx} \left( \frac{\Phi(qx)}{\Phi(x)} \right) \stackrel{(5.2)}{\leq} -\frac{(q-1)x}{8} = -\frac{\rho^2(q-1)}{16} \leq -\frac{C^-}{(1+a^2)}, \quad (5.5)$$

где  $C^- = \frac{\rho(R-\rho)}{16}$ , а для  $a > 0$

$$\varkappa_0(a) = \frac{\rho}{2\sqrt{a}} \frac{d}{dx} \left( \frac{F(qx)}{F(x)} \right) \stackrel{(5.3)}{\leq} -\frac{\rho}{2\sqrt{a}} \frac{(q-1)x}{9q^3(1+x^4)} = -\frac{(q-1)\rho^2}{18q^3(1+\rho^4a^2)} \leq -\frac{C^+}{(1+a^2)}, \quad (5.6)$$

<sup>23</sup>Учитывая, что  $\varkappa_0(0) \stackrel{(3.17)}{=} -\frac{R}{\rho} \frac{R^2-\rho^2}{8}$ , нужно доказать неравенство (3.18) лишь для  $a \neq 0$ .

где  $C^+ = \min(1, \rho^4) \frac{R-\rho}{18R^3}$ .

В нижеследующих доказательствах лемм 3 и 4 используются формулы<sup>24</sup>

$$x \frac{dF(x)}{dx} = x(1 - F^2(x)) - F(x), \quad x \frac{d\Phi(x)}{dx} = x(1 + \Phi^2(x)) - \Phi(x), \quad (5.7)$$

а также следствие теоремы Лагранжа о приращениях дифференцируемой функции  $\Psi \neq 0$  :

$$\frac{d}{dx} \left( \frac{\Psi(qx)}{\Psi(x)} \right) = \frac{\Psi(qx)}{\Psi(x)} \left( \frac{\psi(qx) - \psi(x)}{x} \right) = \frac{\Psi(qx)}{\Psi(x)} (q-1)\psi'(\xi), \quad \text{где } \psi(x) = \frac{x\Psi'(x)}{\Psi(x)}, \quad \text{а } \xi \in (x, qx). \quad (5.8)$$

**Доказательство леммы 3.** Проверим сначала, что

$$x + \frac{x^3}{8} < 2\Phi(x) \quad \text{при } 0 < x < \mu_1 \quad \text{и} \quad \Phi(x) \leq x \quad \text{при } 0 < x \leq \sqrt{2}. \quad (5.9)$$

Вспользуемся тем, что степенные ряды для  $J_0$  и  $J_1$  (см. (4.4)–(4.5)) являются обертыывающими [13] для этих функций при любом  $x \in \mathbb{R}$ . В частности, для  $\forall x > 0$  верны оценки

$$1 - x^2/4 \leq J_0(x) \leq 1 - x^2/4 + x^4/64 \equiv (1 - x^2/8)^2, \quad x/2 - x^3/16 \leq J_1(x) \leq x/2. \quad (5.10)$$

Поэтому в области положительности функций  $J_0$ ,  $J_1$  и оценивающих их многочленов справедливы неравенства

$$\frac{J_1(x)}{J_0(x)} \leq \frac{x/2}{1 - x^2/4} \quad \text{для } 0 < x \leq 2, \quad \frac{x/2 - x^3/16}{(1 - x^2/8)^2} \leq \frac{J_1(x)}{J_0(x)} \leq x/2 \quad \text{для } 0 < x < \mu_1. \quad (5.11)$$

первое из этих неравенств дает оценку сверху в (5.9), т.к.  $1 - x^2/4 \geq 1/2$  при  $0 < x \leq \sqrt{2}$ . Второе неравенство в (5.11) приводит к оценке снизу в (5.9), поскольку

$$\frac{x/2 - x^3/16}{(1 - x^2/8)^2} = \frac{x/2}{1 - x^2/8} > \frac{x}{2} \left( 1 + x^2/8 \right). \quad (5.12)$$

Оценим теперь производную функции  $\varphi(x) = \frac{x\Phi'(x)}{\Phi(x)}$ . Из (5.7) следуют такие соотношения для производной функции  $f(x) = xF'(x)/F(x)$  :

$$f'(x) = F^{-2}(x) (2F(x) + xF^4(x) - x), \quad \varphi'(x) = \Phi^{-2}(x) (2\Phi(x) + x\Phi^4(x) - x), \quad (5.13)$$

а из первого неравенства (5.9) вытекает

$$\varphi'(x) > \Phi^{-2}(x) (x^3/8 + x\Phi^4(x)) = x \left[ \Phi^2(x) + (x/\Phi(x))^2/8 \right] \quad \text{при } 0 < x < \mu_1. \quad (5.14)$$

Кроме того, из (5.9) следует

$$x/\Phi(x) \geq 1 \quad \text{при } 0 < x \leq \sqrt{2}, \quad 1/\sqrt{2} \leq x/2 < \Phi(x) \quad \text{при } \sqrt{2} \leq x < \mu_1.$$

Отсюда и (5.14) вытекает

$$\varphi'(x) > x/8 \quad \text{при } 0 < x \leq \sqrt{2}, \quad \varphi'(x) > x\Phi^2(x) > x/2 \quad \text{при } \sqrt{2} \leq x < \mu_1, \quad (5.15)$$

что почти мгновенно влечет лемму 2, ибо

$$\frac{d}{dx} \left( \frac{\Phi(qx)}{\Phi(x)} \right) \stackrel{(5.8)}{\geq} \frac{\Phi(qx)}{\Phi(x)} (q-1) \left( \min_{0 < x < \mu_1} \Phi'(x) \right) \stackrel{(5.15)}{\geq} \frac{\Phi(qx)}{\Phi(x)} \frac{(q-1)x}{8}. \quad (5.16)$$

Осталось показать, что  $\Phi(qx)/\Phi(x) \geq 1$ . Это так, поскольку  $q > 1$ , а  $\Phi'(x) > 0$ . Последнее верно, т.к.

$$\Phi'(x) \stackrel{(5.7)}{=} \Phi^2(x) + (1 - \Phi(x)/x) \stackrel{(5.9)}{\geq} \Phi^2(x) > 0 \quad \text{при } 0 < x \leq \sqrt{2}, \quad (5.17)$$

а если  $\sqrt{2} < x < \mu_1$ , то  $\Phi(x)/x < \Phi(x)/\sqrt{2}$  и потому

$$\Phi'(x) \stackrel{(5.7)}{=} 1 + \Phi^2(x) - \Phi(x)/x > 1 + \Phi^2(x) - \Phi(x)/\sqrt{2} = (1 - \Phi(x))^2 + (2 - 1/\sqrt{2})\Phi(x) > \Phi(x). \quad (5.18)$$

<sup>24</sup>Формулы (5.7) получаются непосредственным дифференцированием функций  $F$  и  $\Phi$  с использованием известных соотношений  $I_1'(x) = I_0(x) - \frac{1}{x}I_1(x)$  и  $J_1'(x) = J_0(x) - \frac{1}{x}J_1(x)$ . Напомним также, что  $I_1(x) = I_0'(x)$ , а  $J_1(x) = -J_0'(x)$ .

Доказательство леммы 4 опирается на следующее неравенство<sup>25</sup> для функции  $I \stackrel{def}{=} I_0$ :

$$I(x)I''(x) - I'^2(x) > \frac{1}{2x^2}I^2(x), \quad \text{если } x \geq \sqrt{2}. \quad (5.19)$$

Учитывая тождество  $I''(x) = I(x) - I'(x)/x$  и формулы (5.1), перепишем неравенство (5.19) в такой форме:

$$F^2(x) < 1 - \frac{1}{x}F(x) - \frac{1}{2x^2}, \quad \text{если } x \geq \sqrt{2}. \quad (5.20)$$

Отсюда

$$F(x) < 1, \quad F^4(x) \stackrel{(5.20)}{<} 1 + \frac{1}{x^2}F^2(x) + \frac{1}{4x^4} - \frac{2}{x}F(x) - \frac{1}{x^2} + \frac{1}{x^3}F(x) \quad (5.21)$$

и потому при  $x \geq \sqrt{2}$

$$\left(2F(x) + xF^4(x) - x\right) \stackrel{(5.21)}{<} \frac{1}{x}F^2(x) + \frac{1}{4x^3} - \frac{1}{x} + \frac{1}{x^2}F(x) = \frac{1}{x}\left(F^2(x) - 1 + F(x)/x\right) + \frac{1}{4x^3} \stackrel{(5.20)}{<} -\frac{1}{4x^3}. \quad (5.22)$$

Тем самым, для производной функции  $f(x) = xF'(x)/F(x)$  имеем

$$f'(x) \stackrel{(5.13)}{=} F^{-2}(x) \left(2F(x) + xF^4(x) - x\right) \stackrel{(5.22)}{<} -F^{-2}(x) \frac{1}{4x^3} \stackrel{(5.21)}{<} -\frac{1}{4x^3} \quad \text{при } x \geq \sqrt{2}. \quad (5.23)$$

Оценим теперь  $f'(x)$  при  $x \in (0, \sqrt{2})$ , используя (см. [12], стр. 429) неравенство

$$F(x) \leq x(x^2 + 4)^{-1/2} \quad (\forall x > 0).$$

В силу этого неравенства, имеем

$$f'(x) \stackrel{(5.13)}{\leq} F^{-2}(x) \left( \frac{2x}{\sqrt{x^2 + 4}} + \frac{x^5}{(x^2 + 4)^2} - x \right) = xF^{-2}(x) \frac{2(x^2 + 4)\sqrt{x^2 + 4} - 8x^2 - 16}{(x^2 + 4)^2}.$$

Воспользовавшись тем, что  $\sqrt{x^2 + 4} = 2\sqrt{1 + x^2/4} \leq 2(1 + x^2/8) = 2 + x^2/4$ , получаем

$$f'(x) \leq 2xF^{-2}(x) \frac{(x^2 + 4)(2 + x^2/4) - 4x^2 - 8}{(x^2 + 4)^2} = 2xF^{-2}(x) \frac{x^2/4 - 1}{(x^2 + 4)^2}.$$

Но  $x^2/4 - 1 < -1/2$ , а  $(x^2 + 4)^2 < 36$ , т.к.  $x^2 < 1$ . Поэтому, учитывая, что  $x/F(x) \geq 2$  при  $x > 0$ , получаем

$$f'(x) < -\frac{x^3}{F^2(x)(x^2 + 4)^2} < -\frac{x^2}{F^2(x)} \frac{x}{36} \leq -\frac{x}{9} \quad \text{при } 0 < x < \sqrt{2}. \quad (5.24)$$

Формулы (5.23) и (5.24) влекут неравенство

$$f'(x) < -\frac{x}{9(1 + x^4)} \quad \text{при } x > 0,$$

в силу которого

$$\frac{d}{dx} \left( \frac{F(qx)}{F(x)} \right) \stackrel{(5.8)}{\leq} \frac{F(qx)}{F(x)}(q-1) \sup_{x < \xi < qx} f'(\xi) = -\frac{F(qx)}{F(x)}(q-1) \inf_{x < \xi < qx} \left( \frac{\xi}{9(1 + \xi^4)} \right). \quad (5.25)$$

<sup>25</sup> Доказательство неравенства (5.19) приводится в заключительной (основной) части этого параграфа. Отметим, что известные асимптотики функции  $I$  и ее производных позволяют показать, что

$$I(x)I''(x) - I'^2(x) = \frac{2e^y}{\pi y^3} \left( 1 + \frac{3}{2y} + O\left(\frac{1}{y^2}\right) \right), \quad \frac{I^2(x)}{2x^2} = \frac{2e^y}{\pi y^3} \left( 1 + \frac{1}{2y} + O\left(\frac{1}{y^2}\right) \right) \quad \text{при } y = 2x \rightarrow +\infty.$$

Отсюда видно, что неравенство (5.19) выполняется при всех достаточно больших  $x$ . Основная трудность в том, чтобы доказать справедливость этого неравенства при всех  $x \geq \sqrt{2}$ . Ограничение  $x \geq \sqrt{2}$  не случайно: уже при  $x = 1$  верно противоположное неравенство  $I(1)I''(1) - I'^2(1) < I^2(1)/2$ .

Функция  $F(x) = I_1(x)/I_0(x)$ , как нетрудно понять, возрастает при  $x > 0$  и потому  $F(x)/F(qx) \leq 1$ . Кроме того,

$$\inf_{x < \xi < qx} \left( \frac{\xi}{9(1 + \xi^4)} \right) \leq -(q-1) \min \left( \frac{x}{9(1 + x^4)}, \frac{qx}{9(1 + qx^4)} \right) \leq -\frac{q-1}{9q^3} \frac{x}{(1 + x^4)},$$

и потому

$$\frac{d}{dx} \left( \frac{F(qx)}{F(x)} \right) \stackrel{(5.25)}{\leq} -\frac{q-1}{9q^3} \frac{x}{(1 + x^4)}. \quad (5.26)$$

Чтобы завершить доказательство леммы 3, остается проверить справедливость неравенства (5.19).

**Доказательство неравенства (5.19).** Проверим сначала, что функция

$$D(x) = I(x)I''(x) - I'^2(x)$$

допускает следующие интегральные представления:

$$D(x) = \frac{2e^{2x}}{\pi^2} \int_0^1 \int_0^1 \frac{(\tau_1 - \tau_2)^2 e^{-2x(\tau_1 + \tau_2)} d\tau_1 d\tau_2}{\sqrt{\tau_1 \tau_2} \sqrt{1 - \tau_1} \sqrt{1 - \tau_2}}, \quad (5.27)$$

$$D(x) = \frac{1}{\pi^2} \int_0^1 \int_0^1 \frac{(t_1 + t_2)^2 \cosh(x(t_1 - t_2)) + (t_1 - t_2)^2 \cosh(x(t_1 + t_2))}{\sqrt{1 - t_1^2} \sqrt{1 - t_2^2}} dt_1 dt_2. \quad (5.28)$$

Воспользуемся тем, что (см., например, [12])

$$I(x) = \frac{1}{\pi} \int_{-1}^1 \frac{e^{xt} dt}{\sqrt{1 - t^2}} = \frac{2}{\pi} \int_0^1 \frac{\cosh(xt) dt}{\sqrt{1 - t^2}} \quad (5.29)$$

и потому

$$I'(x) = \frac{1}{\pi} \int_{-1}^1 \frac{te^{xt} dt}{\sqrt{1 - t^2}} = \frac{2}{\pi} \int_0^1 \frac{t \sinh(xt) dt}{\sqrt{1 - t^2}}, \quad I''(x) = \frac{1}{\pi} \int_{-1}^1 \frac{t^2 e^{xt} dt}{\sqrt{1 - t^2}} = \frac{2}{\pi} \int_0^1 \frac{t^2 \cosh(xt) dt}{\sqrt{1 - t^2}}. \quad (5.30)$$

Из (5.29)–(5.30) получаем

$$D(x) = \frac{1}{2\pi^2} \int_{-1}^1 \int_{-1}^1 \frac{(t_1 - t_2)^2 e^{x(t_1 + t_2)}}{\sqrt{1 - t_1^2} \sqrt{1 - t_2^2}} dt_1 dt_2. \quad (5.31)$$

Отсюда

$$D(x) = \frac{2}{\pi^2} \int_0^1 \int_0^1 \frac{(t_1^2 + t_2^2) \cosh(xt_1) \cosh(xt_2) - 2t_1 t_2 \sinh(xt_1) \sinh(xt_2)}{\sqrt{1 - t_1^2} \sqrt{1 - t_2^2}} dt_1 dt_2 = \quad (5.32)$$

$$\frac{2}{\pi^2} \int_0^1 \int_0^1 \frac{(t_1 - t_2)^2 \cosh(xt_1) \cosh(xt_2) + 2t_1 t_2 (\cosh(xt_1) \cosh(xt_2) - \sinh(xt_1) \sinh(xt_2))}{\sqrt{1 - t_1^2} \sqrt{1 - t_2^2}} dt_1 dt_2.$$

Производя в интеграле (5.31) замену переменных  $t_j = 1 - 2\tau_j$ , придем к представлению (5.27), а поскольку

$$2 \cosh a \cosh b = \cosh(a + b) + \cosh(a - b), \quad \cosh a \cosh b - \sinh a \sinh b = \cosh(a - b),$$

то (5.32) влечет (5.28).

Из (5.28) следует, что при любом  $n \in \mathbb{N}$

$$D^{(2n)}(0) = \frac{1}{\pi^2} \int_0^1 \int_0^1 \frac{(t_1 + t_2)^2 (t_1 - t_2)^{2n} + (t_1 - t_2)^2 (t_1 + t_2)^{2n}}{\sqrt{1 - t_1^2} \sqrt{1 - t_2^2}} dt_1 dt_2 > 0. \quad (5.33)$$



А так как  $D(x) = I(x)I''(x) - I'^2(x)$  — четная целая функция, то из (5.33) заключаем, что эта функция разлагается в ряд Маклорена по четным степеням переменной  $x$  с положительными коэффициентами:

$$D(x) = \sum_{n=0}^{\infty} a_n z^n, \quad z = (x/2)^2, \quad a_n > 0 \quad \forall n \in \mathbb{N}. \quad (5.34)$$

Учитывая (4.4), получаем

$$a_0 = 1/2, \quad a_1 = 1/4, \quad a_2 = 1/12, \quad a_3 = 5/288. \quad (5.35)$$

Из (5.34)–(5.35) выводим неравенства

$$D(x) \geq 1/2 + z/4 + z^2/12 + 5z^3/288 \quad \forall z = (x/2)^2. \quad (5.36)$$

Сделаем еще один подготовительный шаг к доказательству неравенства (5.19). Оценим сверху  $I(x)$  и  $I^2(x)$  при  $|x| \leq \sqrt{12}$  (т.е. при  $z \leq 3$ ). Заметим, что  $n! \geq 2 \cdot 3^{n-2} \quad \forall n \geq 2$ . Поэтому при  $z = (x/2)^2 \leq 3$

$$I(x) \stackrel{(4.4)}{=} 1 + z + \sum_{n \geq 2} \frac{z^n}{(n!)^2} \geq 1 + z + \sum_{n \geq 2} \frac{z^2 \cdot 3^{n-2}}{(2 \cdot 3^{n-2})^2} = 1 + z + \sum_{n \geq 2} 3^{2-n} = 1 + z + 3z^2/8.$$

Отсюда

$$I^2(x) \leq 1 + 2z + (7/4)z^2 + (3/4)z^3 + z^4/7 \quad \text{при} \quad |x| \leq \sqrt{12}.$$

Следовательно,

$$0.5x^{-2}I^2(x) = I^2(x)/(8z) \leq 1/(8z) + 1/4 + 7z/32 + 3z^2/32 + z^3/56 \quad \text{при} \quad z = (x/2)^2 \leq 3. \quad (5.37)$$

Теперь уже нетрудно доказать неравенство (5.19) для  $\sqrt{2} \leq x \leq \sqrt{12}$ . Для этого достаточно проверить, что правая часть неравенства (5.36) больше правой части неравенства (5.37), т.е.

$$\left(\frac{1}{4} - \frac{1}{8z}\right) + z\left(\frac{1}{4} - \frac{7}{32}\right) + z^2\left(\frac{1}{12} - \frac{3}{32}\right) + z^3\left(\frac{5}{288} - \frac{1}{56}\right) > 0 \quad \text{при} \quad 1/2 \leq z \leq 3. \quad (5.38)$$

Умножив обе части неравенства (5.38) на 32 и произведя несложные вычисления, получим равносильное неравенство:

$$(8 - 4/z) + z - z^2/3 - z^3/63 > 0 \quad \text{при} \quad 1/2 \leq z \leq 3. \quad (5.39)$$

Если  $1/2 \leq z \leq 1$ , то  $8 - 4/z \geq 0$  и

$$z - z^2/3 - z^3/63 \geq z(1 - 1/3 - 1/63) > z/2 \geq 1/4.$$

Потому неравенство (5.39) верно при  $1/2 \leq z \leq 1$ . Если  $z \in [1, 3]$ , то  $z - z^2/3 \geq 0$ ,  $8 - 4/z \geq 4$ , и остается доказать, что  $4 - z^3/63 > 0$  при  $z \in [1, 3]$ . Но это очевидно. Итак, неравенство (5.39) доказано, а потому доказано и неравенство (5.19) для  $\sqrt{2} \leq x \leq \sqrt{12}$ .

При  $x > \sqrt{12}$  неравенство (5.19) следует из следующей цепочки неравенств

$$I^2(x) < \frac{e^y}{\pi y} \left(1 + \frac{0.88}{y}\right) < \frac{e^y}{\pi y} \left(1 + \frac{1}{y}\right) < \frac{y^2}{2} D(x) \quad \text{при} \quad y = 2x > \sqrt{48}. \quad (5.40)$$

Доказательство первого из них начнем с вывода такой оценки<sup>26</sup>:

$$I^2(x) < \frac{e^y}{\pi y} \left(1 + \frac{0.88}{y}\right) \quad \text{при} \quad y = 2x > \sqrt{48}. \quad (5.41)$$

---

<sup>26</sup>За счет усложнения доказательства можно получить более точную оценку:  $I^2(x) < \frac{e^y}{\pi y} \left(1 + \frac{0.8}{y}\right)$ . Отметим, что при  $y = 2x \rightarrow +\infty$  верна асимптотика  $I^2(x) = \frac{e^y}{\pi y} \left(1 + \frac{1}{2}y + O\left(\frac{1}{y^2}\right)\right)$ .

Сделав в первой интегральной формуле (5.29) замену переменной  $t = 1 - 2\tau$  и воспользовавшись неравенствами

$$\frac{1}{\sqrt{1-\tau}} < \begin{cases} 1 + \frac{\tau}{2} + \frac{\tau^2}{2\sqrt{1-\tau}} & \text{при } 0 < \tau \leq 1/2, \\ 1 + \frac{\tau}{2} + \frac{\tau^2}{\sqrt{1-\tau}} & \text{при } 1/2 < \tau \leq 1, \end{cases}$$

получим

$$\begin{aligned} I(x) &= \frac{e^x}{\pi} \int_0^1 \frac{e^{-2\tau x}}{\sqrt{\tau - \tau^2}} d\tau < \frac{e^x}{\pi} \left( \int_0^1 \frac{e^{-2\tau x}}{\sqrt{\tau}} (1 + \tau/2) d\tau + \int_0^{1/2} \frac{\tau^2 e^{-2\tau x}}{2\sqrt{\tau - \tau^2}} d\tau + \int_{1/2}^1 \frac{\tau^3 e^{-2\tau x}}{\tau\sqrt{\tau - \tau^2}} d\tau \right) \\ &< \frac{e^x}{\pi} \left( \int_0^\infty \frac{e^{-2\tau x}}{\sqrt{\tau}} (1 + \tau/2) d\tau + \sup_{\tau > 0} (\tau^2 e^{-2\tau x}) \int_0^{1/2} \frac{1}{2\sqrt{\tau - \tau^2}} d\tau + \sup_{\tau > 0} (\tau^3 e^{-2\tau x}) \int_{1/2}^1 \frac{e^{-2\tau x}}{\tau\sqrt{\tau - \tau^2}} d\tau \right). \end{aligned}$$

Отсюда, учитывая, что

$$\begin{aligned} \sup_{\tau > 0} (\tau^k e^{-\tau y}) &= k^k e^{-k} y^{-k}, & \int_0^{1/2} \frac{d\tau}{\sqrt{\tau - \tau^2}} &= \frac{\pi}{2}, & \int_{1/2}^1 \frac{d\tau}{\tau\sqrt{\tau - \tau^2}} &= 2, \\ \int_0^\infty \tau^{-1/2} e^{-\tau y} d\tau &= \sqrt{\pi/y}, & \int_0^\infty \tau^{1/2} e^{-\tau y} d\tau &= \frac{\sqrt{\pi}}{2y^{3/2}}, \end{aligned}$$

получаем

$$I(x) < \frac{e^x}{\pi} \left( \frac{\sqrt{\pi}}{y^{0.5}} + \frac{\sqrt{\pi}}{4y^{1.5}} + \frac{\pi}{y^2 e^2} + \frac{54}{y^3 e^3} \right) = \frac{e^x}{\sqrt{\pi y}} \left( 1 + \frac{1}{4y} + \frac{\sqrt{\pi}}{e^2 y^{1.5}} + \frac{54}{\sqrt{\pi} y^{2.5} e^3} \right).$$

Имеем:  $\pi^{0.5} 48^{-0.25} e^{-2} < 0.0912$ ,  $54\pi^{-0.5} e^{-3} 48^{-0.75} < 0.0832$ . Поэтому

$$I(x) < \frac{e^x}{\sqrt{\pi y}} \left( 1 + \frac{0.425}{y} \right), \quad \text{при } y = 2x \geq \sqrt{48}. \quad (5.42)$$

Отсюда следует требуемая оценка (5.40), т.к.

$$I^2(x) < \frac{e^y}{\pi y} \left( 1 + \frac{0.85}{y} + \frac{0.425^2}{y^2} \right) < \frac{e^y}{\pi y} \left( 1 + \frac{0.88}{y} \right) \quad \text{при } y \geq \sqrt{48}.$$

Осталось установить последнее из неравенств в (5.19). С этой целью заметим, что равенство (5.27) и неравенство  $(1 - \tau)^{-1/2} > 1 + \tau/2$  влекут

$$D(x) > \frac{2e^y}{\pi^2} \int_0^1 \int_0^1 (\tau_1 \tau_2)^{-1/2} (\tau_1 - \tau_2)^2 (1 + \tau_1/2) (1 + \tau_2/2) e^{-y(\tau_1 + \tau_2)} d\tau_1 d\tau_2 > \frac{2e^y}{\pi^2} (A_1 + A_2), \quad (5.43)$$

где

$$A_1 = \int_0^1 \int_0^1 \frac{(\tau_1 - \tau_2)^2}{\sqrt{\tau_1 \tau_2}} e^{-y(\tau_1 + \tau_2)} d\tau_1 d\tau_2 \quad A_2 = \int_0^1 \int_0^1 \frac{(\tau_1 - \tau_2)^2}{\sqrt{\tau_1 \tau_2}} \left( \frac{\tau_1 + \tau_2}{2} \right) e^{-y(\tau_1 + \tau_2)} d\tau_1 d\tau_2.$$

Перепишем

$$A_1 = 2 \int_0^1 \int_0^1 \left( \tau_1^{3/2} \tau_2^{-1/2} - \tau_1^{1/2} \tau_2^{1/2} \right) e^{-y(\tau_1 + \tau_2)} d\tau_1 d\tau_2$$

в виде

$$\frac{1}{2} A_1 = \left( \int_0^1 \tau^{3/2} e^{-y\tau} d\tau \right) \left( \int_0^1 \tau^{-1/2} e^{-y\tau} d\tau \right) - \left( \int_0^1 \tau^{1/2} e^{-y\tau} d\tau \right)^2.$$

Отсюда, полагая

$$R_p(y) \stackrel{def}{=} y^p \int_1^\infty \tau^{p-1} e^{-y\tau} d\tau \equiv \int_y^\infty t^{p-1} e^{-t} dt, \quad p > 0, \quad (5.44)$$

получаем

$$A_1 = \left( \frac{\Gamma(2.5)}{y^{2.5}} - \frac{R(2.5)}{y^{2.5}} \right) \left( \frac{\Gamma(0.5)}{y^{0.5}} - \frac{R(0.5)}{y^{0.5}} \right) - \left( \frac{\Gamma(1.5)}{y^{1.5}} - \frac{R(1.5)}{y^{1.5}} \right)^2,$$

т.е.

$$A_1 = \frac{\Gamma(2.5)\Gamma(0.5) - 2\Gamma^2(2.5)}{y^3} - \frac{\Gamma(2.5)R_{0.5}(y) + \Gamma(0.5)R_{2.5}(y) - 2\Gamma(1.5)R_{1.5}(y)}{y^3} + r(y),$$

где

$$r(y) = \frac{R_{2.5}(y)R_{0.5}(y) - R_{1.5}^2(y)}{y^3} = \int_1^\infty \int_1^\infty (\tau_1\tau_2)^{-1/2} (\tau_1 - \tau_2)^2 e^{-y(\tau_1+\tau_2)} d\tau_1 d\tau_2 > 0.$$

Поэтому

$$A_1 > \frac{\pi}{y^3} - \frac{2\sqrt{\pi}}{y^3} \left( R_{2.5}(y) + \frac{3}{4}R_{0.5}(y) - R_{1.5}(y) \right).$$

Отсюда, учитывая неравенство  $R_{1.5}(y) \stackrel{(5.44)}{>} R_{0.5}(y)$ , верное при любом  $y \geq 1$ , получаем

$$A_1 > \frac{\pi}{y^3} - \frac{2\sqrt{\pi}}{y^3} R_{2.5}(y) = \frac{\pi}{y^3} \left( 1 - \frac{2R_{2.5}(y)}{\sqrt{\pi}} \right). \quad (5.45)$$

Оценим сверху  $R_{2.5}(y)$  при  $y \geq \sqrt{48}$ . Имеем

$$R_{2.5}(y) = \int_y^\infty t^{1.5} e^{-t} dt \leq \int_y^\infty \frac{t^{2.5} e^{-t}}{y} dt \leq \frac{a(y)}{y}, \quad (5.46)$$

где  $a(y) = \max_{t \geq y} (t^{2.5} e^{-t/2}) \int_y^\infty e^{-t/2} dt$ . Но  $y \geq 5$ , поэтому  $\max_{t \geq y} (t^{2.5} e^{-t/2}) = y^{2.5} e^{-y/2}$ . Следовательно,

$$a(y) \leq y^{2.5} e^{-y/2} \int_y^\infty e^{-t/2} dt = 2y^{2.5} e^{-y} \leq 2 \max_{y \geq \sqrt{48}} y^{2.5} e^{-y} = 2 \cdot 48^{5/4} e^{-\sqrt{48}} = 96 \cdot 48^{1/4} e^{-\sqrt{48}} < 0.265.$$

Отсюда и (5.45)–(5.46) заключаем, что

$$A_1 > \frac{\pi}{y^3} \left( 1 - \frac{0.3}{y} \right) \quad \forall y \geq \sqrt{48}. \quad (5.47)$$

Оценим снизу  $A_2$ . Имеем

$$A_2 = \left( \int_0^1 \tau^{2.5} e^{-y\tau} d\tau \right) \left( \int_0^1 \tau^{-0.5} e^{-y\tau} d\tau \right) - \left( \int_0^1 \tau^{1.5} e^{-y\tau} d\tau \right) \left( \int_0^1 \tau^{0.5} e^{-y\tau} d\tau \right).$$

Поэтому

$$A_2 > \left( \frac{\Gamma(3.5)}{y^{3.5}} - \frac{R_{3.5}(y)}{y^{3.5}} \right) \left( \frac{\Gamma(0.5)}{y^{0.5}} - \frac{R_{0.5}(y)}{y^{0.5}} \right) - \frac{\Gamma(2.5)\Gamma(1.5)}{y^{2.5}y^{1.5}} =$$

$$\frac{\Gamma(3.5)\Gamma(0.5)}{y^4} \left( 1 - \frac{R_{3.5}(y)}{\Gamma(3.5)} \right) \left( 1 - \frac{R_{0.5}(y)}{\Gamma(0.5)} \right) - \frac{\Gamma(2.5)\Gamma(1.5)}{y^4} = \frac{1}{y^4} \left( \frac{15\pi}{8} (1 - \varepsilon_1)(1 - \varepsilon_2) - \frac{3\pi}{8} \right),$$

где

$$\varepsilon_1 = \frac{1}{\Gamma(3.5)} \int_y^\infty t^{2.5} e^{-t} dt, \quad \varepsilon_2 = \frac{1}{\Gamma(0.5)} \int_y^\infty t^{-0.5} e^{-t} dt.$$

При  $y \geq \sqrt{48}$  имеем

$$\varepsilon_1 = \frac{8}{15\sqrt{\pi}} \int_y^\infty t^{2.5} e^{-t} dt \leq \frac{8}{15\sqrt{\pi}} \max_{t \geq y} (t^{2.5} e^{-t/2}) \int_y^\infty e^{-t/2} dt = \frac{8}{15\sqrt{\pi}} y^{2.5} e^{-y/2} \cdot 2e^{-y/2} =$$

$$\frac{16y^{2.5} e^{-y}}{15\sqrt{\pi}} \leq \frac{16 \cdot 48^{5/4} e^{-\sqrt{48}}}{15\sqrt{\pi}} = \frac{256 \cdot 48^{1/4} e^{-\sqrt{48}}}{5\sqrt{\pi}} = 51.248^{1/4} e^{-\sqrt{48}} \pi^{-0.5} < 0.08,$$

$$\varepsilon_2 = \frac{1}{\sqrt{\pi}} \int_y^\infty t^{-0.5} e^{-t} dt < \frac{1}{\sqrt{\pi y}} \int_y^\infty e^{-t} dt = \frac{e^{-y}}{\sqrt{\pi y}} \leq \frac{e^{-\sqrt{48}}}{\sqrt{\pi}} 48^{-1/4} < 0.01.$$

Следовательно,  $A_2 > 1.3\pi y^{-4}$  при  $y \geq \sqrt{48}$ . Учитывая (5.47), имеем

$$A_1 + A_2 > \frac{\pi}{y^3} \left( 1 + \frac{1}{y} \right) \quad \text{при } y > \sqrt{48},$$

что вместе с (5.43) доказывает последнее в (5.40) неравенство, а потому и неравенство (5.19).

## § 6 О реконструкции по граничным данным всех существенно различных нелинейностей в уравнениях математической физики

Изложенная в §2 конструкция естественным образом распространяется на

i) краевые задачи в области  $\omega \subset \mathbb{R}^n$  для систем уравнений

$$\sum_{j=1}^J \sum_{|\alpha| \leq 2} \rho_{jk}(x) f_{jk\alpha} \left( \frac{\partial^{|\alpha|} \mathbf{u}}{\partial x_1^{\alpha_1} \dots \partial x_n^{\alpha_n}} \right) = 0, \quad \mathbf{u} = (u_1, \dots, u_K) \quad (6.1)$$

эллиптического типа, в которых функции  $f_{jk\alpha}$  для некоторых (или всех) индексов  $j, k, \alpha$  являются искомыми, и на соответствующую системе (6.1)

ii) начально-краевые задачи в цилиндре  $\omega \times (0, t_*)$  для систем эволюционных уравнений, таких, например, как система уравнений (0.5).

Реконструкция всех “существенно различных” искомым функций  $f_{jk\alpha}$  по приближенным данным  $\nabla u$  на границе  $\gamma$  области  $\omega$  и, соответственно, на  $\gamma \times (0, t_*)$  осуществляется по следующей схеме.

1). Выбирается компактное подмножество  $\mathcal{F}$  в некотором нормированном пространстве  $X$  искомым функций  $f_{jk\alpha}$ .

2). Берется (определяемый аналогично (2.31)) мульти-параметр  $\sigma = (\sigma_1, \dots, \sigma_K)$  с ненулевыми компонентами и осуществляется переход к факторизованной функции

$$\mathbf{v} = \sigma \mathbf{u} \stackrel{def}{=} (\sigma_1 u_1, \dots, \sigma_K u_K).$$

Если в качестве краевого условия фигурирует однородное условие Дирихде, то в случае рассмотрения краевой задачи для системы (6.1) функция  $\mathbf{v}$  есть решение однородной задачи Дирихле для системы уравнений

$$\sum_{j=1}^J \sum_{|\alpha| \leq 2} \rho_j(x) g_{jk\alpha} \left( \frac{\partial^{|\alpha|} \mathbf{v}}{\partial x_1^{\alpha_1} \dots \partial x_n^{\alpha_n}} \right) = 0, \quad \text{где} \quad g_{jk\alpha}(t_1, \dots, t_K) = f_{jk\alpha}(t_1/\sigma_1, \dots, t_K/\sigma_K).$$

Аналогичное утверждение справедливо в случае рассмотрения начально-краевой задачи.

При этом

$$\left. \frac{\partial v_k}{\partial \nu} \right|_{\gamma} = \sigma_k \Phi_k, \quad \text{где} \quad \Phi_k = \left. \frac{\partial u_k}{\partial \nu} \right|_{\gamma}.$$

3) Формулой

$$\varkappa_k \stackrel{def}{=} \left. \frac{\partial v_k}{\partial \nu} \right|_{s_R} / \left. \frac{\partial v_k}{\partial \nu} \right|_{s_\rho}$$

вводятся функции  $\varkappa_1, \dots, \varkappa_K$ , параметризованные точками  $s_R \in \gamma$  и  $s_\rho \in \gamma$ . Устанавливаются леммы, аналогичные леммам 2.1–2.4, т.е. устанавливаются серии необходимых условий и критерии, характеризующие искомые нелинейности  $f_{jk\alpha} \in \mathcal{F}$ .

4) Осуществляется отсев тех функций  $f_{jk\alpha} \in \mathcal{F}$ , которые не удовлетворяют обозначенным необходимым условиям и формируется множество  $\mathcal{F}_0 \subset \mathcal{F}$  функций, им удовлетворяющим.

5) Из множества  $\mathcal{F}_0$  выбираются все искомые существенно различные функции  $f_{jk\alpha}$ .

### § Список литературы

- [1] В.К. Андреев, О.В. Капцов, В.В. Пухначев, А.А. Родионов (1994) *Применение теоретико-групповых методов в гидродинамике*. “Наука”, Новосибирск.
- [2] С.И. Безродных, В.И. Власов, А.С. Демидов (2008) О числе решений обратной задачи для уравнения  $\Delta u = au + b \geq 0$  в выпуклой области. *Матем. заметки*
- [3] А.Д. Валиев, А.С. Демидов (1997) О неотрицательных тригонометрических полиномах с фиксированным средним, проходящих через заданные точки. *Матем. заметки*, **62**, № 3, 468–471.

- [4] А.С. Демидов (2000) Об обратной задаче для уравнения Грэда–Шафранова с аффинной правой частью. *УМН* **55**, вып. 6, 131–132.
- [5] А.С. Демидов (2007) О реконструкции полиномиальных нелинейностей в уравнениях математической физики. *Intern. Confer. “Diff. Equations & Related Topics” dedicated to I.G. Petrovskii. Book of Abstracts, Moscow*, 73–74.
- [6] А.С. Демидов, Л.Е. Захаров (1974) Прямая и обратная задачи в теории равновесия плазмы. *УМН* **29**, вып. 6, 203.
- [7] Ю.А. Дубинский (1976) Нелинейные эллиптические и параболические уравнения. *Итоги науки и техники (ВИНИТИ). Современные проблемы математики* **9**, 5–130.
- [8] И.Н. Зверев, Н.Н. Смирнов (1987) *Газодинамика горения*. Изд-во МГУ.
- [9] А.Н. Колмогоров, В.М. Тихомиров (1959)  $\varepsilon$ -энтропия и  $\varepsilon$ -емкость множеств в функциональных пространствах. *УМН*, Том 14, №2, 3–86.
- [10] Д.П. Костомаров, Ф.С. Зайцев, А.С. Демидов (2008) Анализ качества решения обратной задачи для уравнения равновесия тороидальной плазмы. *Доклады РАН*.
- [11] Р.Курант (1962) *Уравнения с частными производными*, “Мир”, Москва.
- [12] Ю. Люк (1980) *Специальные математические функции и их аппроксимации*. “Мир”, Москва.
- [13] Г. Поляя, Г. Сеге (1956) *Задачи и теоремы из анализа*. ГИТТЛ, Москва.
- [14] А.Д. Полянин, В.Ф.Зайцев (2002) *Справочник по нелинейным уравнениям математической физики: точные решения*. “Физматлит”, Москва.
- [15] В.М. Тихомиров (1976) *Некоторые вопросы теории приближений*. Изд-во МГУ.
- [16] А.Н. Тихонов, А.А. Самарский (1972) *Уравнения математической физики*. “Наука”, Москва.
- [17] E. Beretta, M. Vogelius (1991) An inverse problem originating from magnetohydrodynamics. *Arch. Rat. Mech. Anal.* **115**, 137–152.
- [18] E. Beretta, M. Vogelius (1992) An inverse problem originating from magnetohydrodynamics, II. The case of the Grad–Shafranov equation. *Indiana Univ. Math. J.* **41**, 1081–1118.
- [19] E. Beretta, M. Vogelius (1995) An inverse problem originating from magnetohydrodynamics, III. Domains with corners of arbitrary angles. *Asymptotic Analysis* **11**, 289–315.
- [20] J. Blum, H. Buvat (2002) An inverse problem in plasma physics: the identification of the current density profile in a tokamak. *Large-Scale Optimisation with Applications. Part I: Optimization in Inverse Problems and Design* Editors: L.T. Biegler, T.F. Coleman, A.R. Conn, F.N. Santosa), Springer. ([www.inria.fr/rapportsactivite/RA2002/idopt/bibliographie.html](http://www.inria.fr/rapportsactivite/RA2002/idopt/bibliographie.html)).
- [21] A.S. Demidov (1977) Sur la perturbation “singulière” dans un problème à frontière libre. Proceedings of the Conference “Singular Perturbations and Boundary Layer Theory” held in Lyon, 1976, *Lect. Notes in Math.* **594**, 123–130.
- [22] A.S. Demidov, M. Moussaoui (2004) An inverse problem originating from magnetohydrodynamics. *Inverse Problems* **20**, 137–154.
- [23] A.S. Demidov, V.V. Petrova, V.M. Silantiev (1996) On inverse and direct free boundary problems in the theory of plasma equilibrium in a Tokamak. *C.R. Acad. Sci. Paris* **323** Série I, 353–358.
- [24] S.I. Pokhozhaev (2007) Nonlinear Variational Problems via the Fiberings Method. *Steklov Mathematical Institute*.

- [25] V.D. Pustovitov (2001) Magnetic diagnostics: General principles and the problem of reconstruction of plasma current and pressure profiles in toroidal systems. *Nuclear Fusion* **41**, № 6, 721–730.
- [26] M. Vogelius (1994) An inverse problem for the equation  $\Delta u = -cu - d$ . *Ann. Inst. Fourier* **44**, 1181–1209.
- [27] L.E. Zakharov (2007) The theory of variances of equilibrium reconstruction. (<http://w3.pppl.gov/~zakharov>).